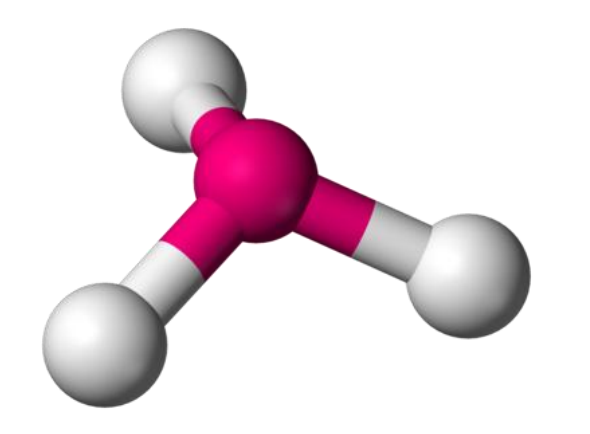


# Enlace químico II (geometría molecular)



Marco Galleguillos Caamaño B.Q. Mg. en BQ

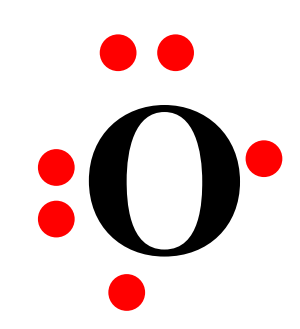
$$\mathbf{O_8}$$

$$Z = 8$$

 $1s^2$ 

Capa de valencia

 $2s^2 \ 2p_x^{\ 2} \ 2p_y^{\ 1} \ 2p_z^{\ 1}$ 



Estructura de Lewis

### Fórmulas de Lewis

(Símbolos de puntos de Lewis)

:O: He: :F:

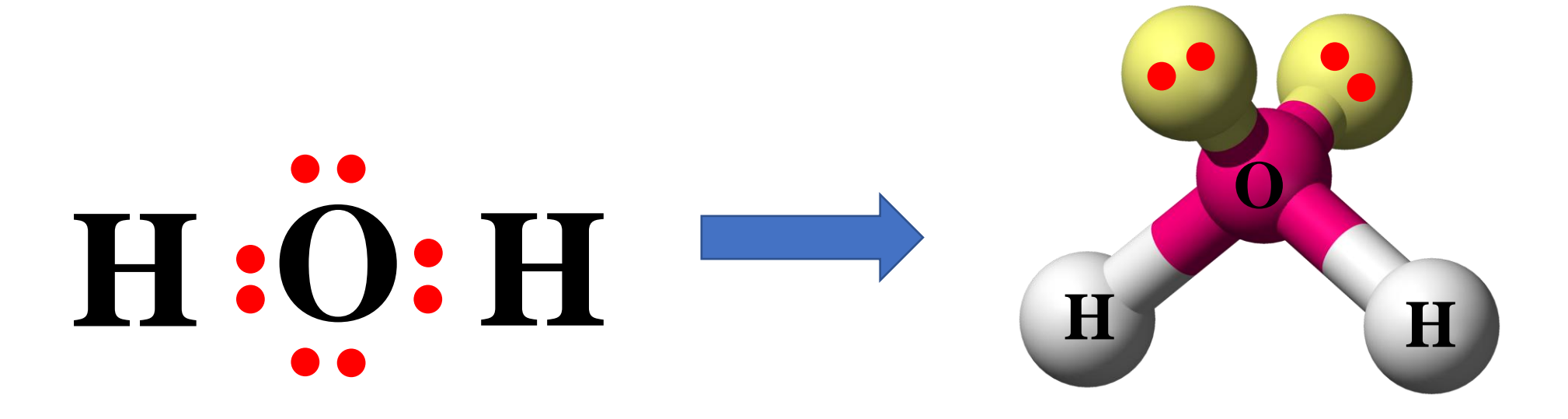
### Fórmulas de Lewis

(Símbolos de puntos de Lewis)

- 1. El símbolo del elemento representa al núcleo y a los electrones de niveles internos
- 2. Los electrones del último nivel se indican con puntos, y no se distinguen entre electrones s y electrones p. Sólo se distingue entre electrones apareados y desapareados.
- 3. Este sistema se aplica generalmente a elementos del primer y segundo periodo de la tabla periódica.
- 4. La unión (para formar el enlace) se hace con los electrones desapareados de cada elemento.
- 5. Los elementos al unirse completan octetos alrededor de ellos (dueto en el H). \* Hay excepciones con menos y más de 8 electrones.

# Modelo de repulsión de los pares electrónicos de la capa de valencia (RPECV)

Explica la distribución geométrica de los pares electrónicos que rodean el átomo central en términos de la repulsión electrostática entre dichos pares



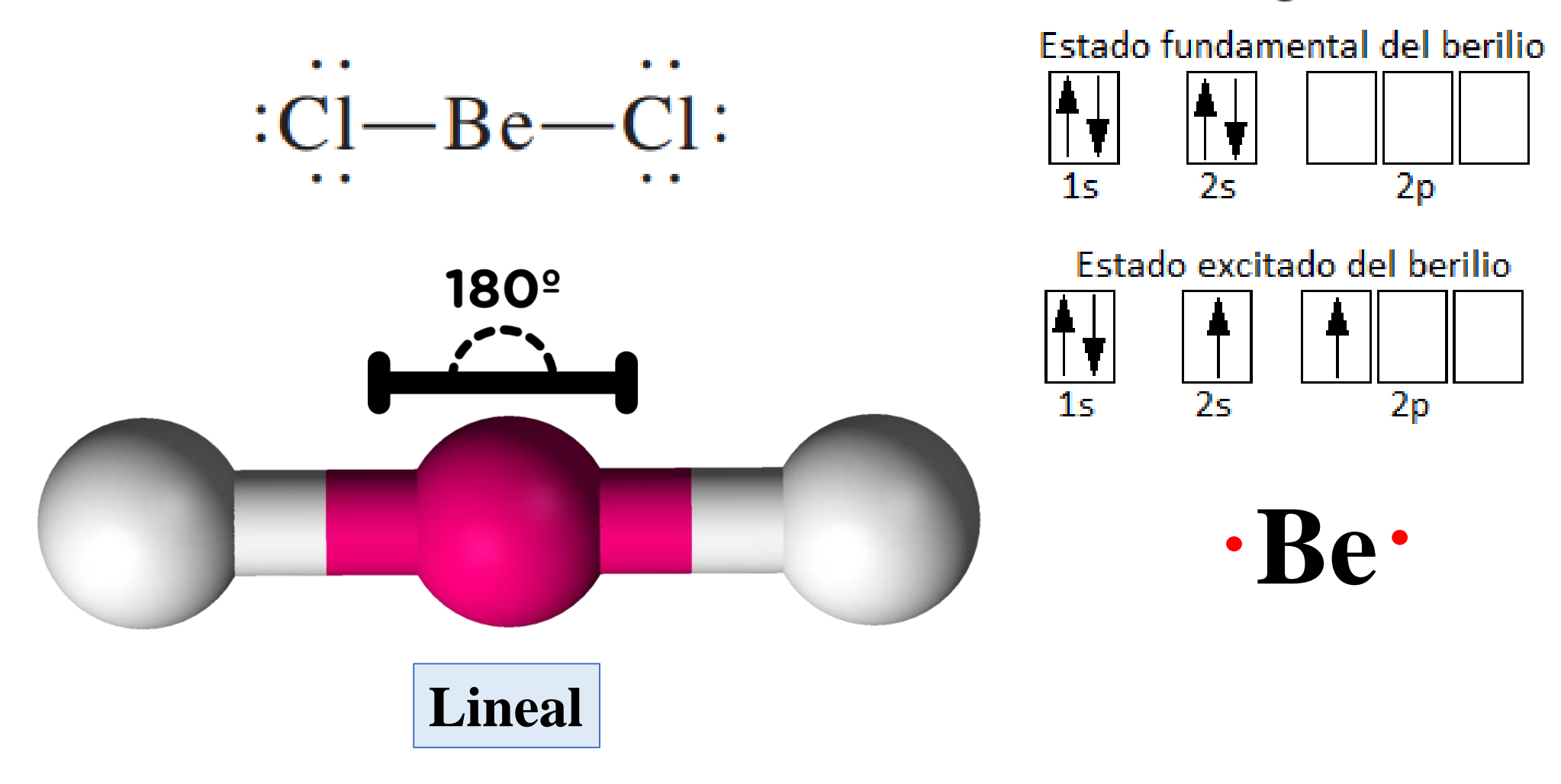
#### Reglas generales del modelo RPECV:

- Al considerar la repulsión de los pares electrónicos, los enlaces dobles y triples se pueden tratar como si fueran sencillos.
- Si una molécula tiene dos o más estructuras resonantes, podemos aplicar el modelo RPECV a cualquiera de ellas

| Número de<br>pares de<br>electrones | Distribución<br>de los pares<br>de electrones* | Geometría<br>molecular*                          | Ejemplos                                       |
|-------------------------------------|--|--|--|
| 2                                   | :A:  | B — A — B  | BeCl <sub>2</sub> , HgCl <sub>2</sub>          |
|                                     | Lineal   | Lineal   |  |
| 3                                   | Plana trigonal                                 | B B B Plana trigonal                             | $\mathrm{BF}_3$                                |
| 4                                   | : 109.5°                                       | B B B  | CH <sub>4</sub> , NH <sub>4</sub> <sup>+</sup> |
| 5                                   | Tetraédrica  120°  Bipiramidal trigonal        | Tetraédrica  B B B B B B B B B B B B B B B B B B | PCl <sub>5</sub>                               |
| 6                                   | 90° A A A A A A A A A A A A A A A A A A A      | B B B  | $SF_6$   |
|                                     | Octaédrica                                     | Octaédrica                                       |  |

#### **AB<sub>2</sub>: cloruro de berilio (BeCl<sub>2</sub>)**

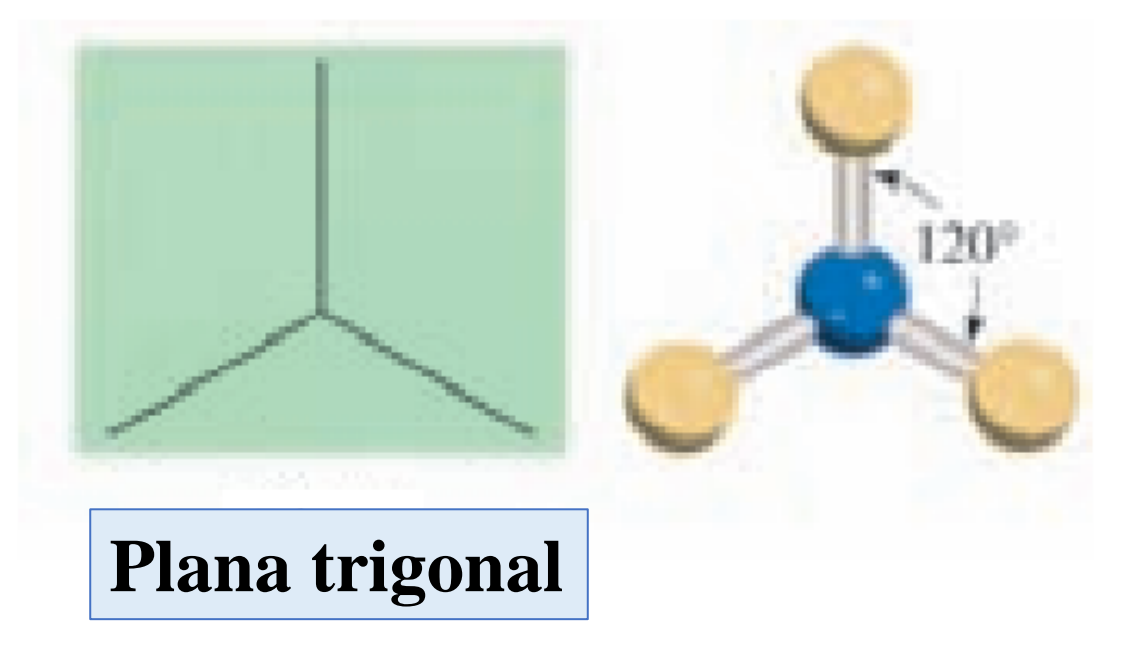
La estructura de Lewis del cloruro de berilio en estado gaseoso es

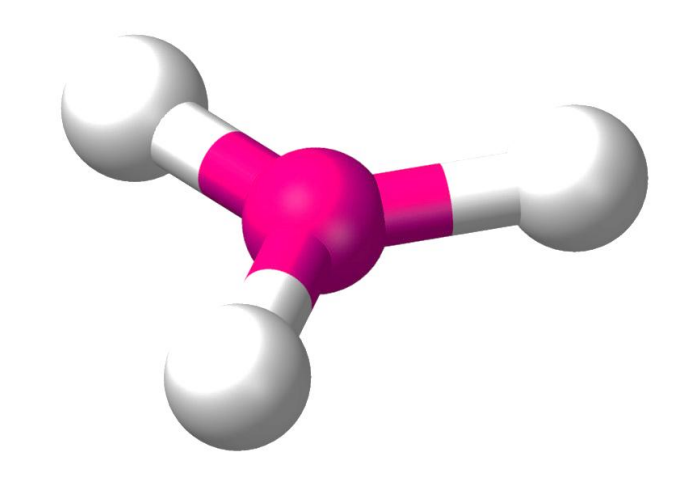


#### **AB<sub>3</sub>:** trifluoruro de boro (BF<sub>3</sub>)

El trifluoruro de boro contiene tres enlaces covalentes, o pares enlazantes. En la distribución más estable, los tres enlaces BF apuntan hacia los vértices de un triángulo equilátero con el B en el centro del mismo:

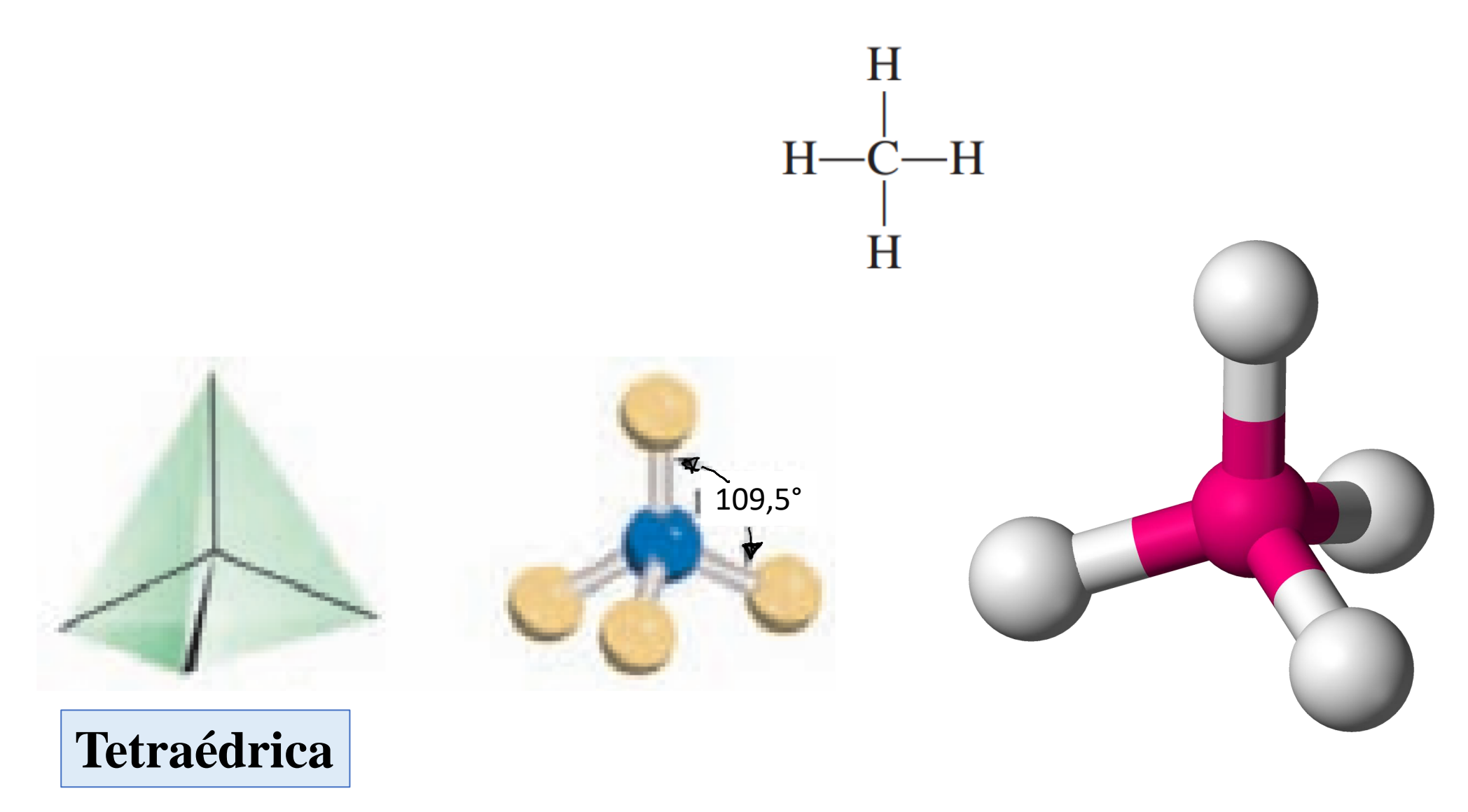
: F : | B ... : F ...





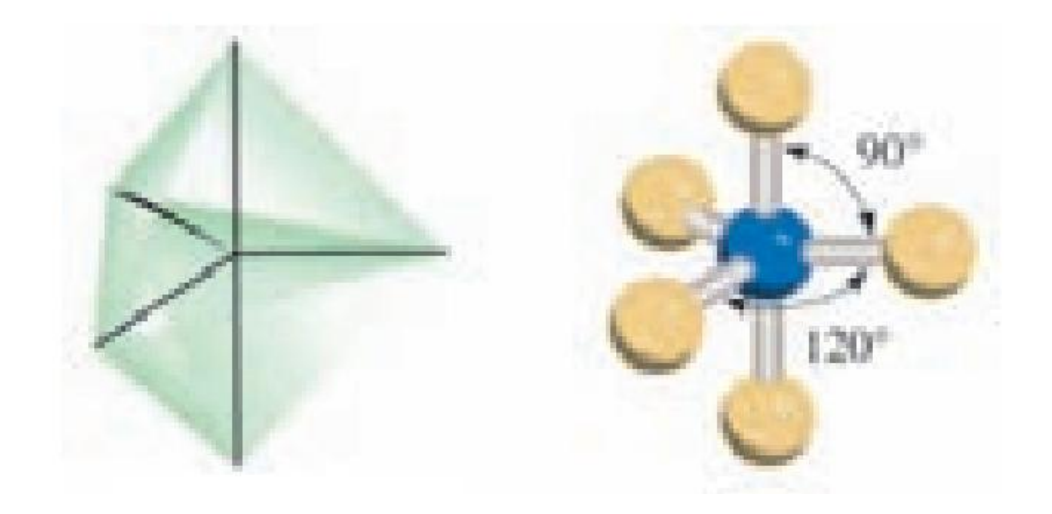
#### $AB_4$ : metano ( $CH_4$ )

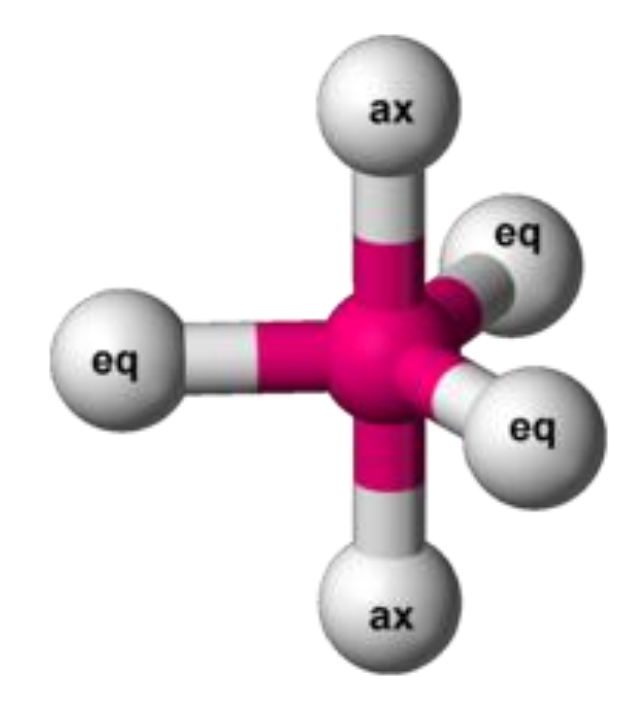
La estructura de Lewis del metano es:



#### **AB<sub>5</sub>:** pentacloruro de fósforo (PCl<sub>5</sub>)

La estructura de Lewis del pentacloruro de fósforo (en la fase gaseosa) es

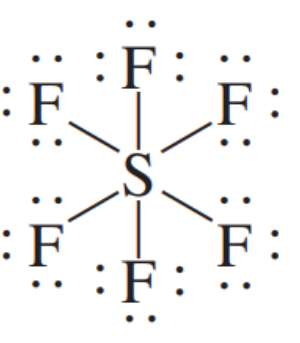




Bipiramidal trigonal

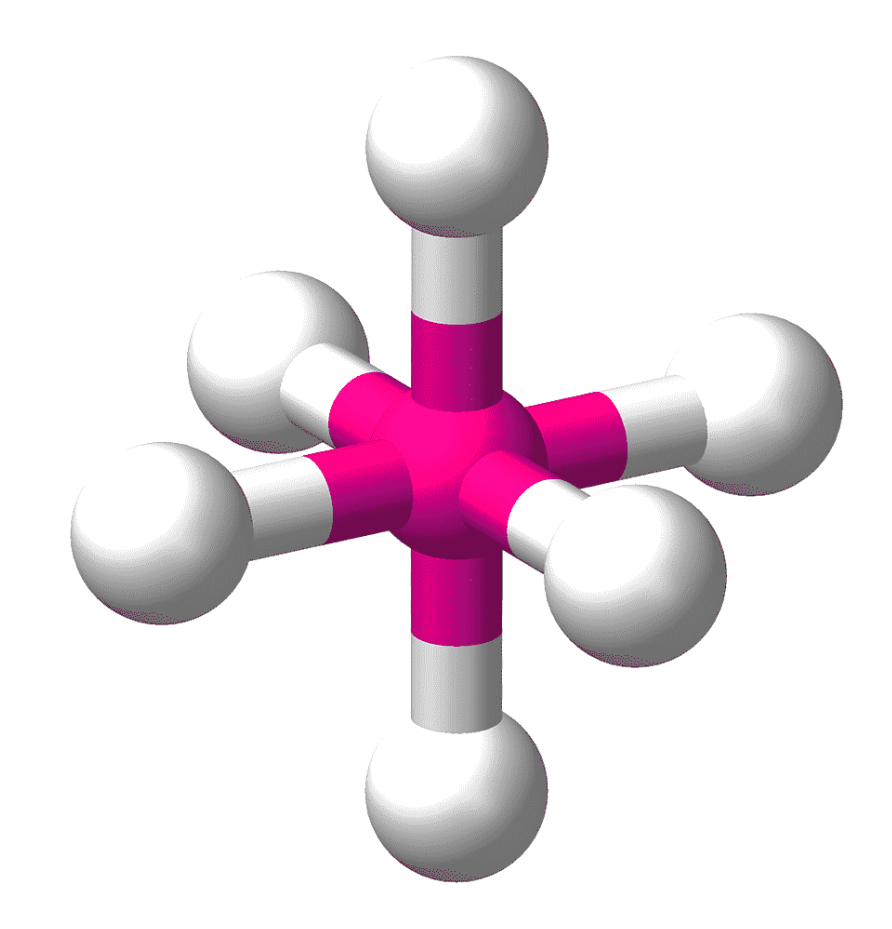
#### **AB<sub>6</sub>:** hexafluoruro de azufre (SF<sub>6</sub>)

La estructura de Lewis del hexafluoruro de azufre es









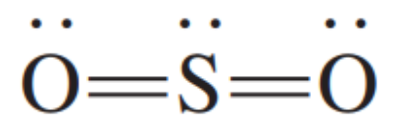
#### Moléculas en las que el elemento central tiene uno o más pares de electrones no compartidos

Las fuerzas de repulsión disminuyen de acuerdo al siguiente orden:

repulsión de par libre *vs.* par libre repulsión de par > libre *vs.* par enlazante repulsión de par enlazante *vs.* par enlazante

#### **AB<sub>2</sub>E:** dióxido de azufre (SO<sub>2</sub>)

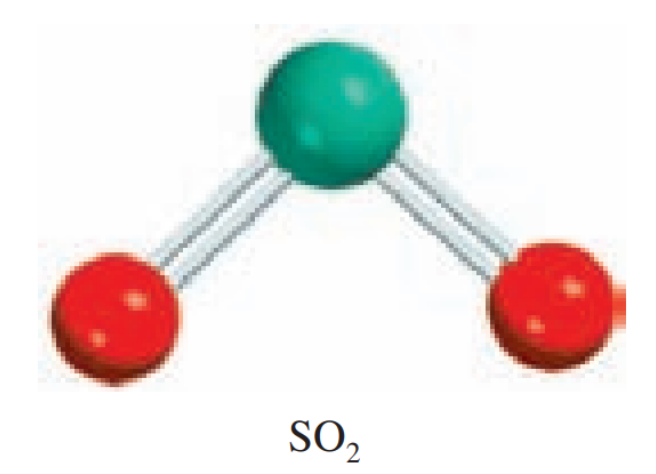
La estructura de Lewis del dióxido de azufre es



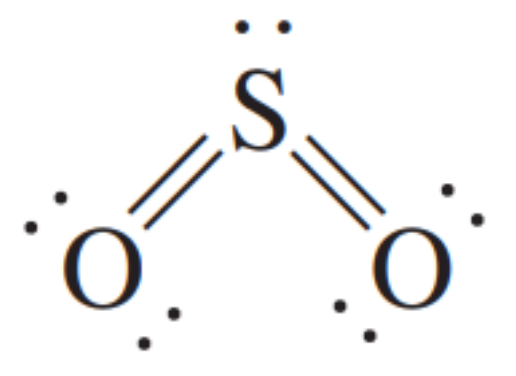


B: 4 pando

E : electrones libros



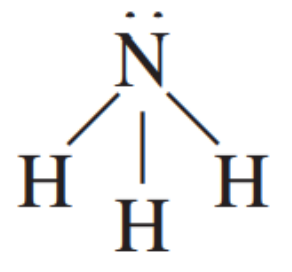
Angular



El ángulo OSO es menor a 120° debido a la mayor repulsión del par de electrones no enlazante

#### AB<sub>3</sub>E: amoniaco (NH<sub>3</sub>)

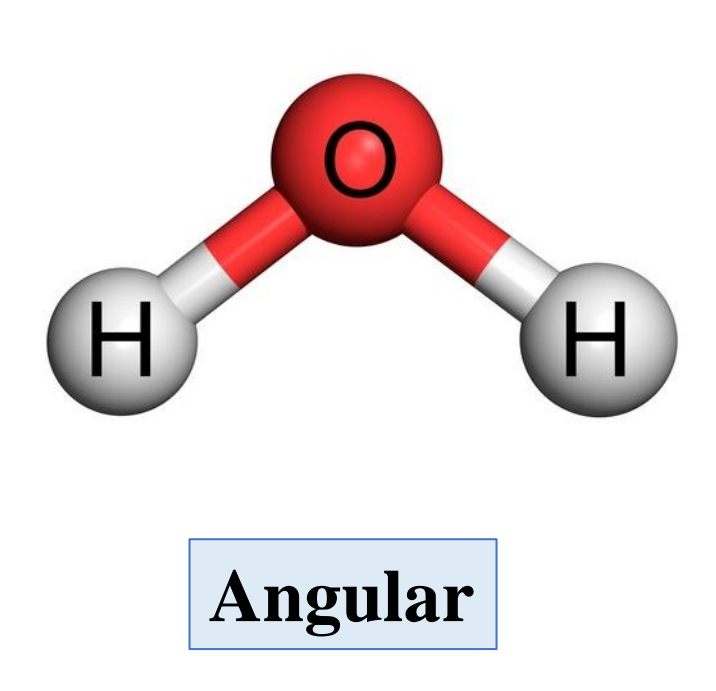
La molécula de amoniaco contiene tres pares enlazantes y un par no enlazante:

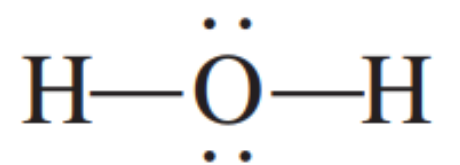


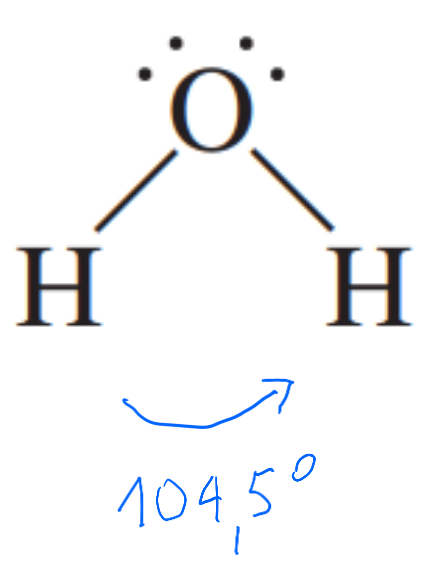
Piramidal trigonal

#### $AB_2E_2$ : agua $(H_2O)$

Una molécula de agua contiene dos pares enlazantes y dos pares libres:







| Clase de<br>nolécula | Número total<br>de pares de<br>electrones | Número<br>de pares<br>enlazantes | Número<br>de pares<br>libres | Distribución<br>de los pares<br>de electrones | Geometría de<br>la molécula<br>o ion                 | Ejemplos         |
|----------------------|---|----------------------------------|------------------------------|---|--|------------------|
| $AB_2E$              | 3   | 2                                | 1                            | B A B   | Angular  | SO <sub>2</sub>  |
| $AB_3E$              | 4   | 3                                | 1                            | B A B  Tetraédrica                            | Piramidal<br>trigonal                                | NH <sub>3</sub>  |
| $AB_2E_2$            | 4   | 2                                | 2                            | ∴ A<br>B<br>B<br>Tetraédrica                  | Angular  | H <sub>2</sub> O |
| $AB_4E$              | 5   | 4                                | 1                            | Bipiramidal trigona                           | Tetraédrica<br>distorsionada<br>(o de "sube y baja") | SF <sub>4</sub>  |
| $AB_3E_2$            | 5   | 3                                | 2                            | B. B. B. Bipiramidal trigonal                 | Con forma de T                                       | CIF <sub>3</sub> |
| $AB_2E_3$            | 5   | 2                                | 3                            | Bipiramidal trigona                           | Lineal   | I <sub>3</sub>   |
| AB <sub>5</sub> E    | 6   | 5                                | 1                            | B B B B Octaédrica                            | Piramide<br>cuadrada                                 | BrF <sub>5</sub> |
| $AB_4E_2$            | 6   | 4                                | 2                            | B B B   | Plana<br>cuadrada                                    |                  |

<sup>\*</sup> Las líneas a color se utilizan sólo para mostrar la forma global: no representan enlaces.

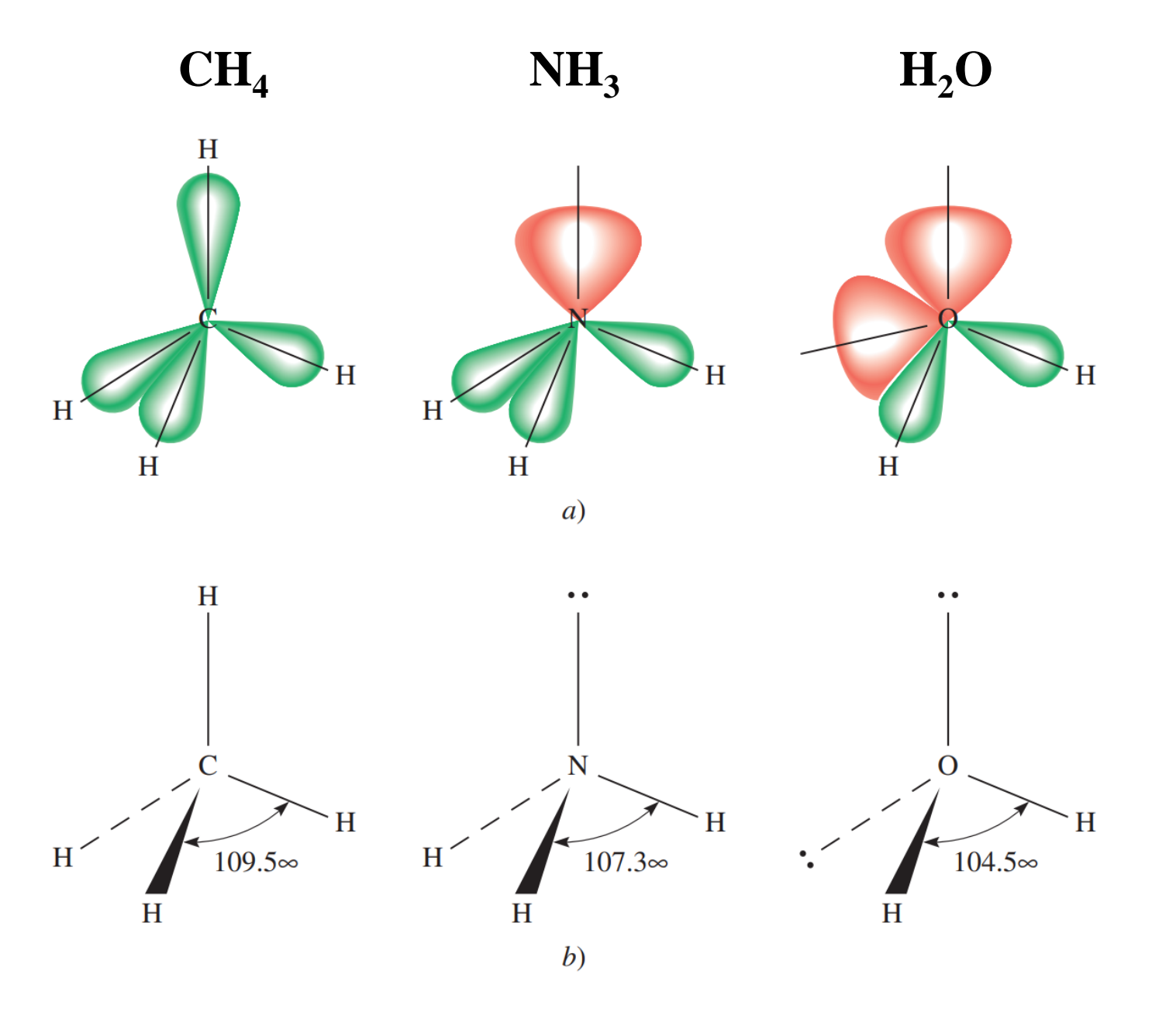
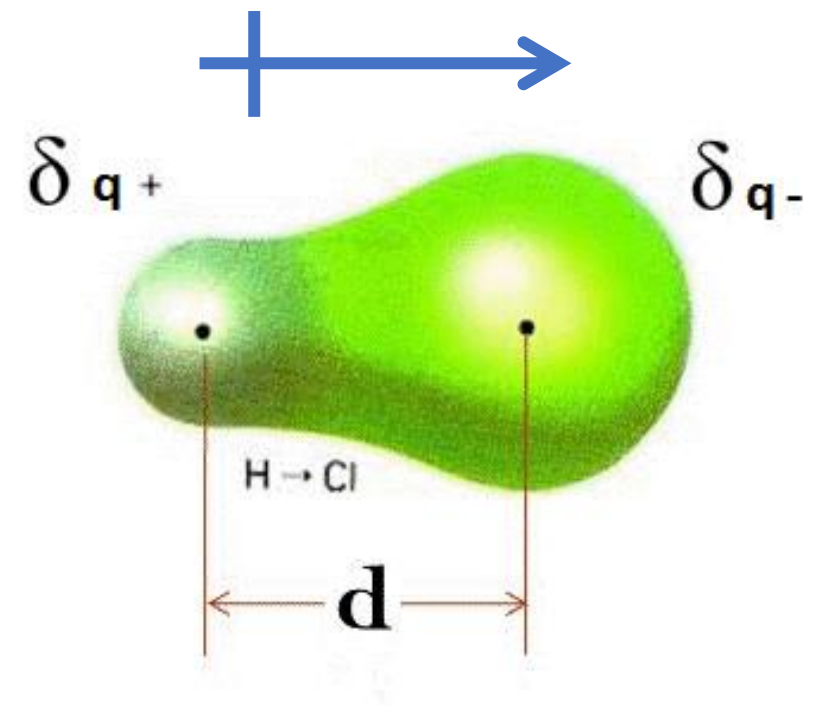
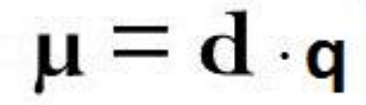


Figura 10.1 a) Tamaños relativos de los pares de enlace y los pares libres en CH<sub>4</sub>, NH<sub>3</sub> y H<sub>2</sub>O. b) Los ángulos de enlace en CH<sub>4</sub>, NH<sub>3</sub> y H<sub>2</sub>O. Observe que las líneas punteadas representan los ejes de los enlaces por detrás del plano del papel, las líneas como cuñas representan los ejes de los enlaces ubicados por delante del plano del papel, y las líneas delgadas representan enlaces en el plano del papel.

Cuando dos átomos diferentes forman un enlace covalente se puede desplazar la nube electrónica hacia el átomo más electronegativo (enlace covalente polar). Una medida cuantitativa de la polaridad de un enlace es el **Momento dipolar** ( $\mu$ ). Se expresa en unidades Debye (D).

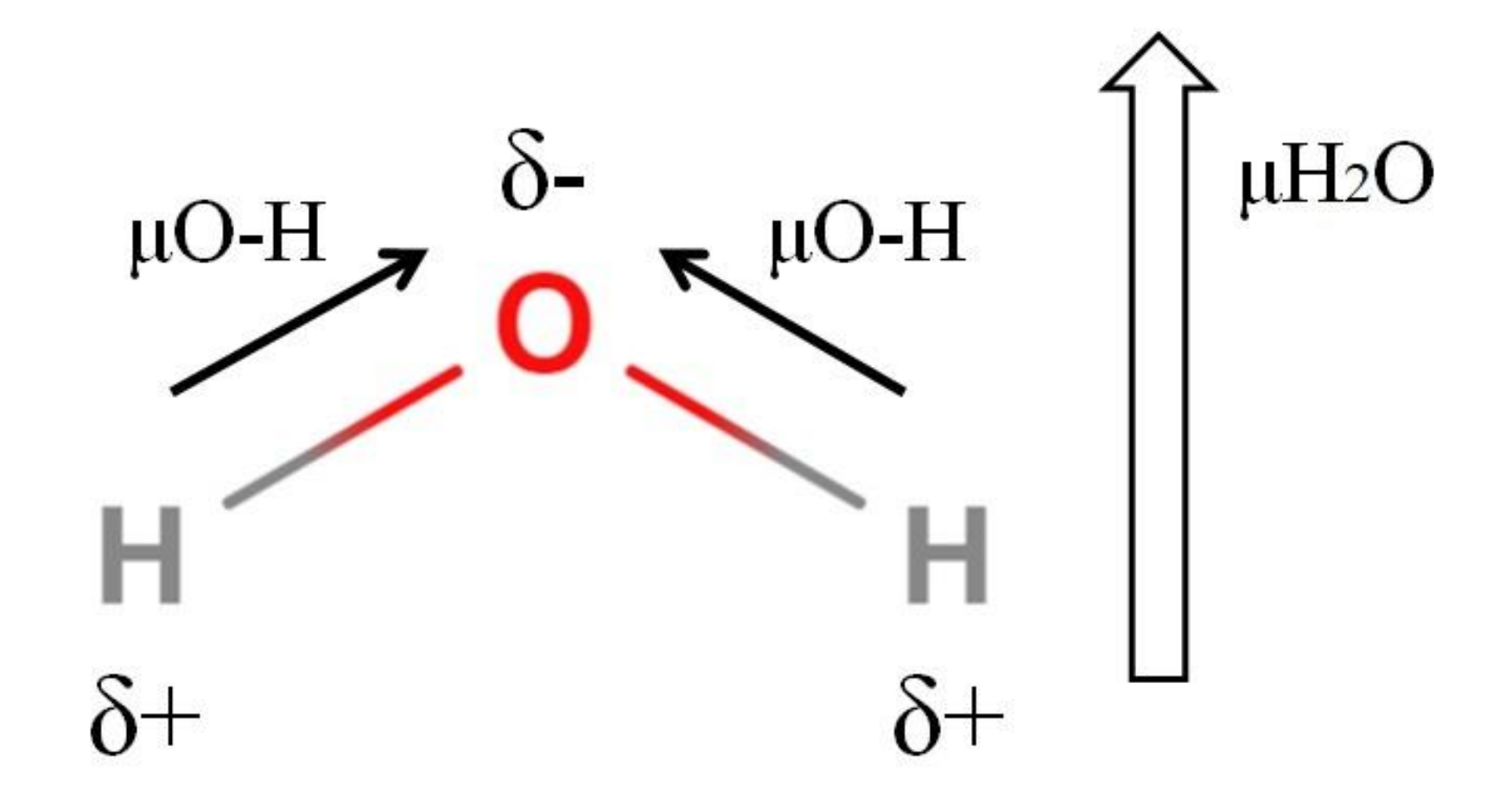




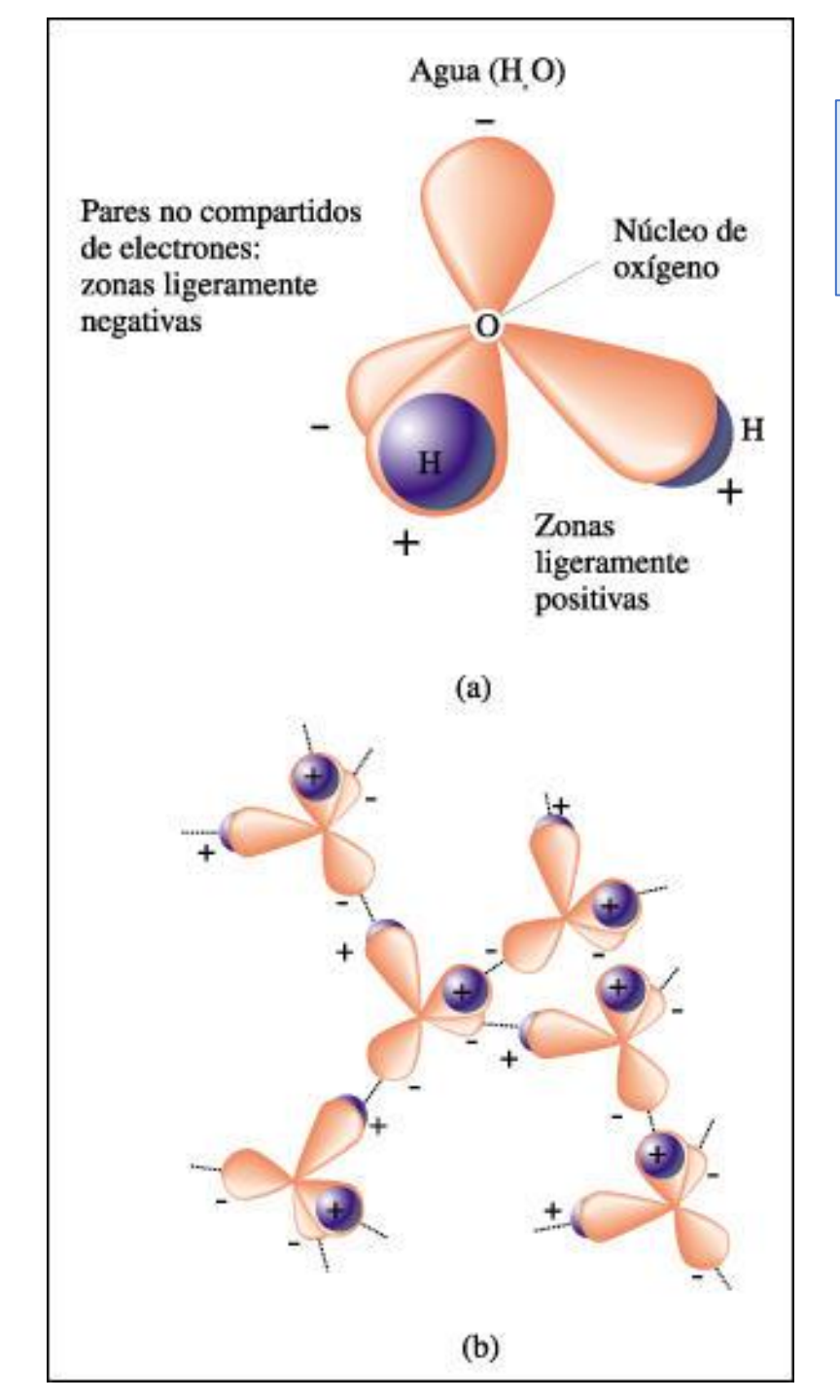


Peter Debye, físico-químico estadounidense (1884-1966)

El agua es una molécula polar

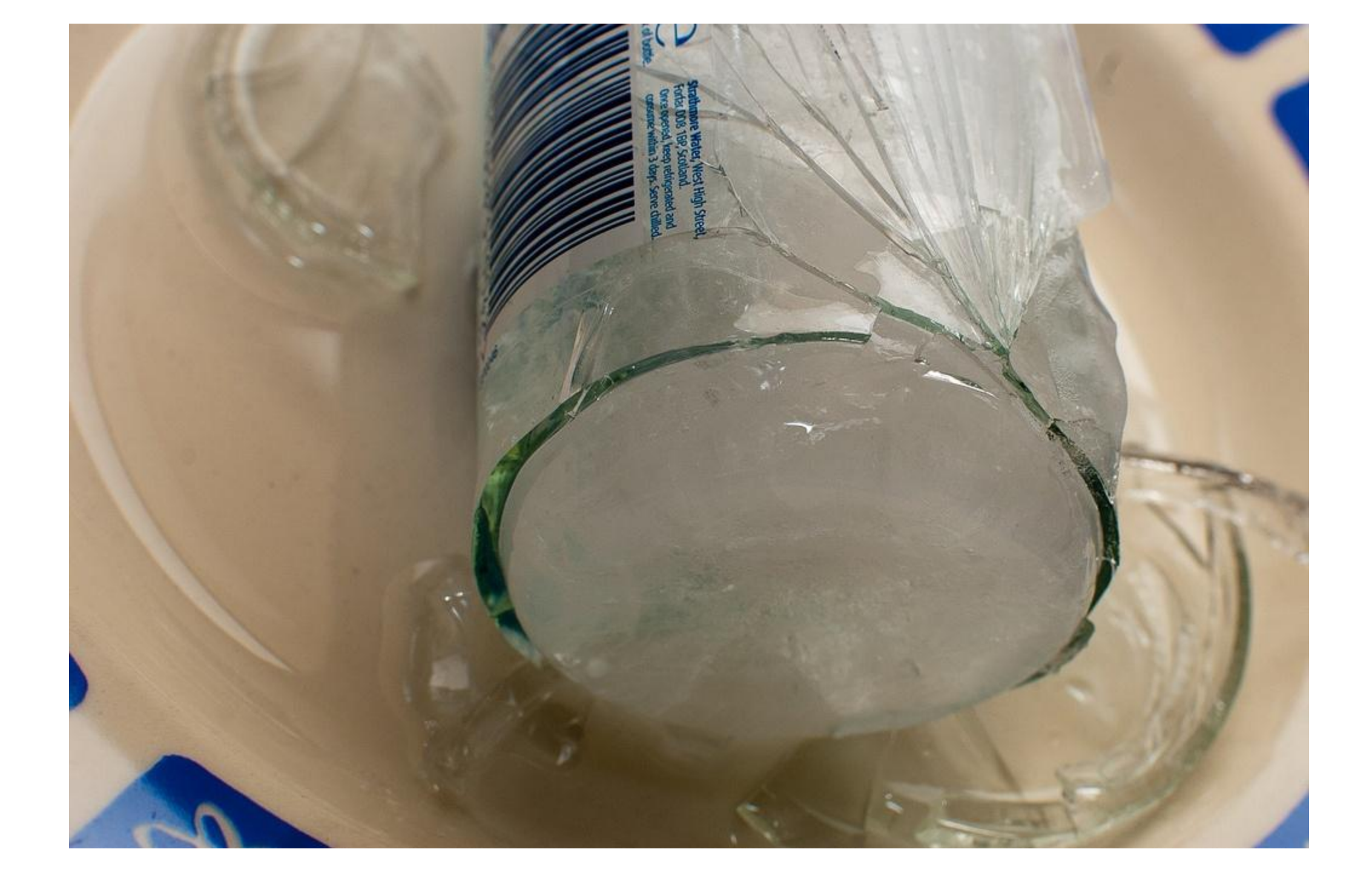


Momento dipolar del agua: 1,85 D

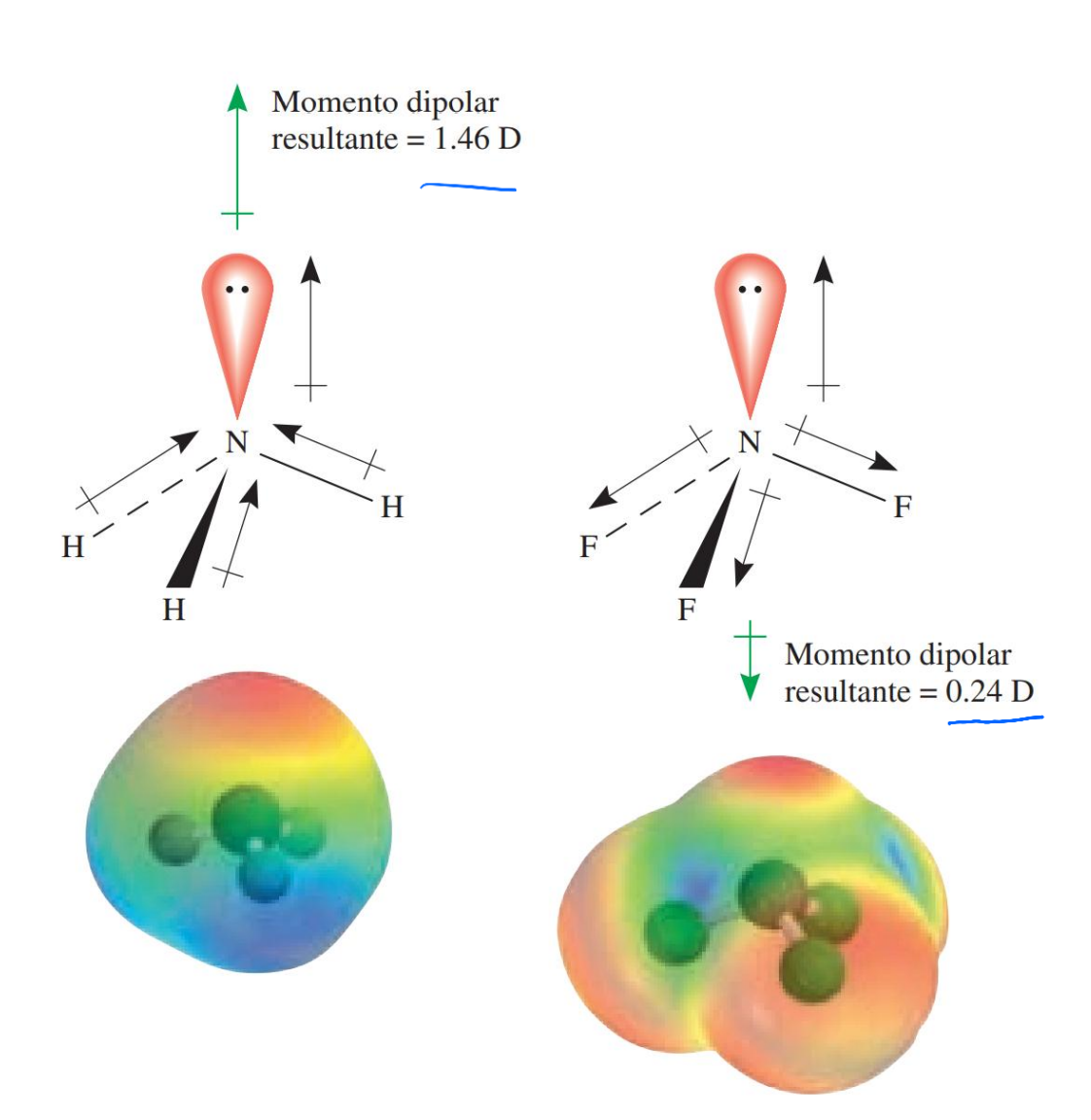


#### El agua tiene la capacidad de formar puentes de hidrógeno

Los estados y el "ordenamiento" del agua Hielo fundente (0°C) Hielo Helo (-273 ± 0 °0) Estructura del agua sólida Agua en ebi (100 °C Agua en Agua líquida Agua líquida (O n 100°C) evaporación



#### Otras moléculas polares



El **F** (4) es más electronegativo que el **N** (3)

#### TABLA 10.3 Momentos dipolares de algunas moléculas

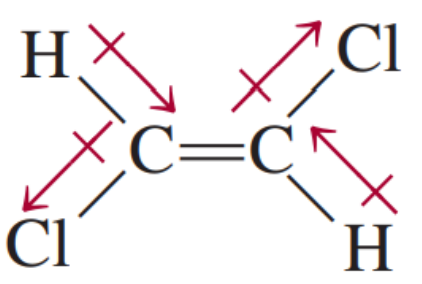
| Molécula | Geometría          | Momento dipolar |
|----------|--------------------|-----------------|
| HF       | Lineal             | 1.92            |
| HC1      | Lineal             | 1.08            |
| HBr      | Lineal             | 0.78            |
| HI       | Lineal             | 0.38            |
| $H_2O$   | Angular            | 1.87            |
| $H_2S$   | Angular            | 1.10            |
| $NH_3$   | Piramidal trigonal | 1.46            |
| $SO_2$   | Angular            | 1.60            |

momento dipolar resultante

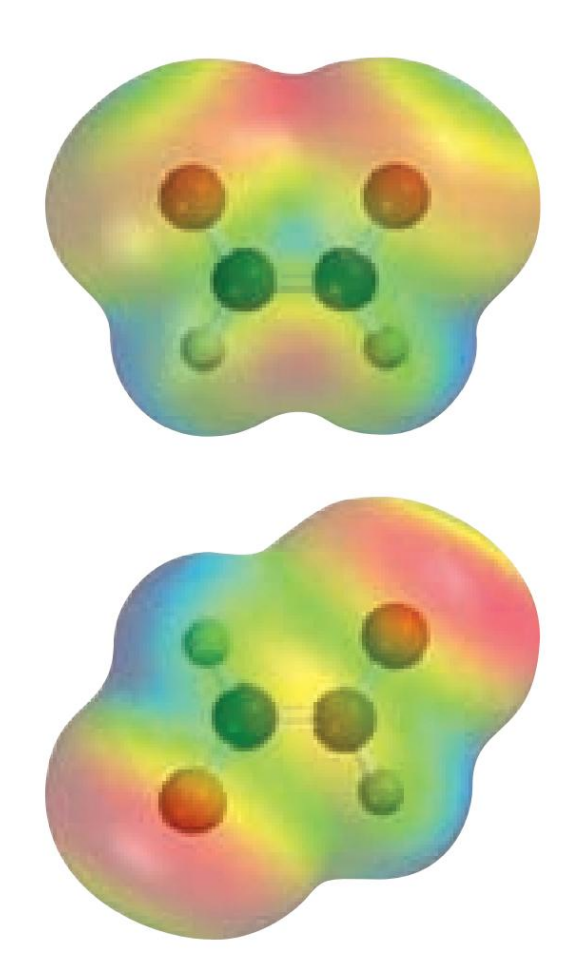
Cl
Cl
H

H

cis-dicloroeileno  $\mu = 1.89 \, \mathrm{D}$ 



trans-dicloroetileno  $\mu = 0$ 

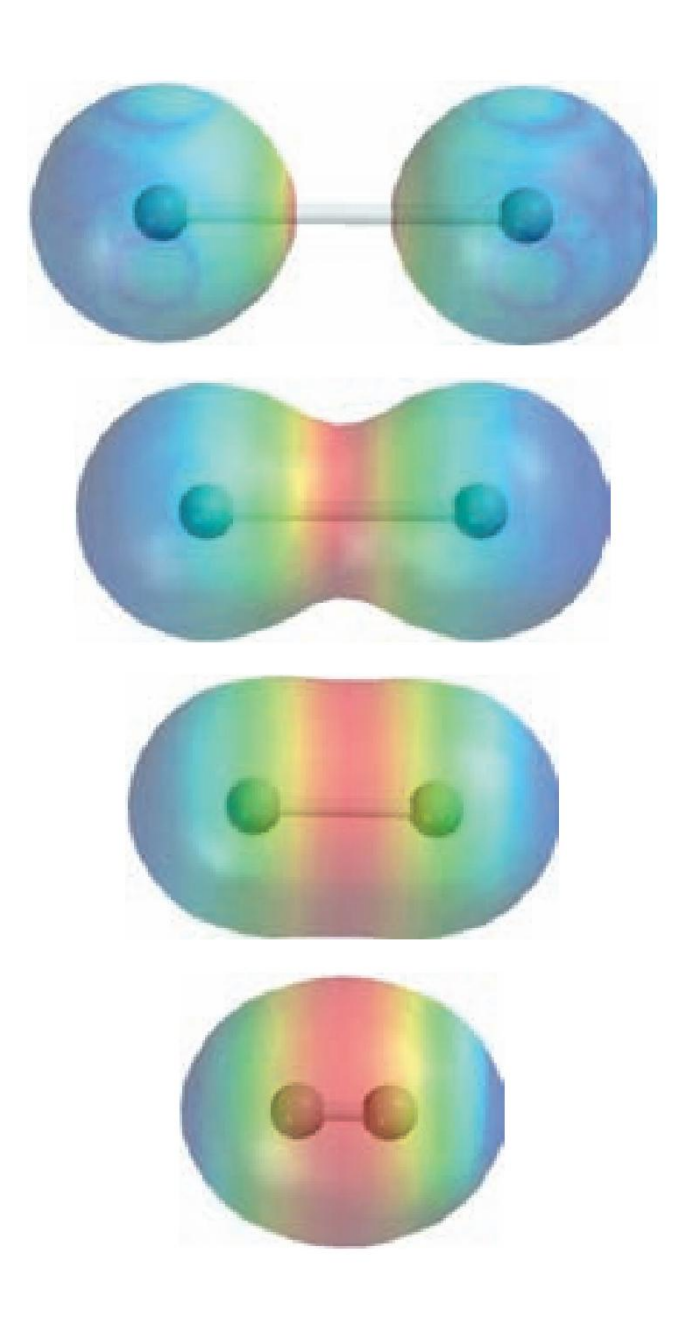


En el *cis*-dicloroetileno (parte superior), los momentos de enlace se refuerzan entre sí y la molécula es polar. Lo opuesto se observa para el *trans*-dicloroetileno y la molécula es no polar.

#### Volvamos al enlace covalente

$$H^{\bullet} + \cdot H \longrightarrow H^{\bullet}H$$

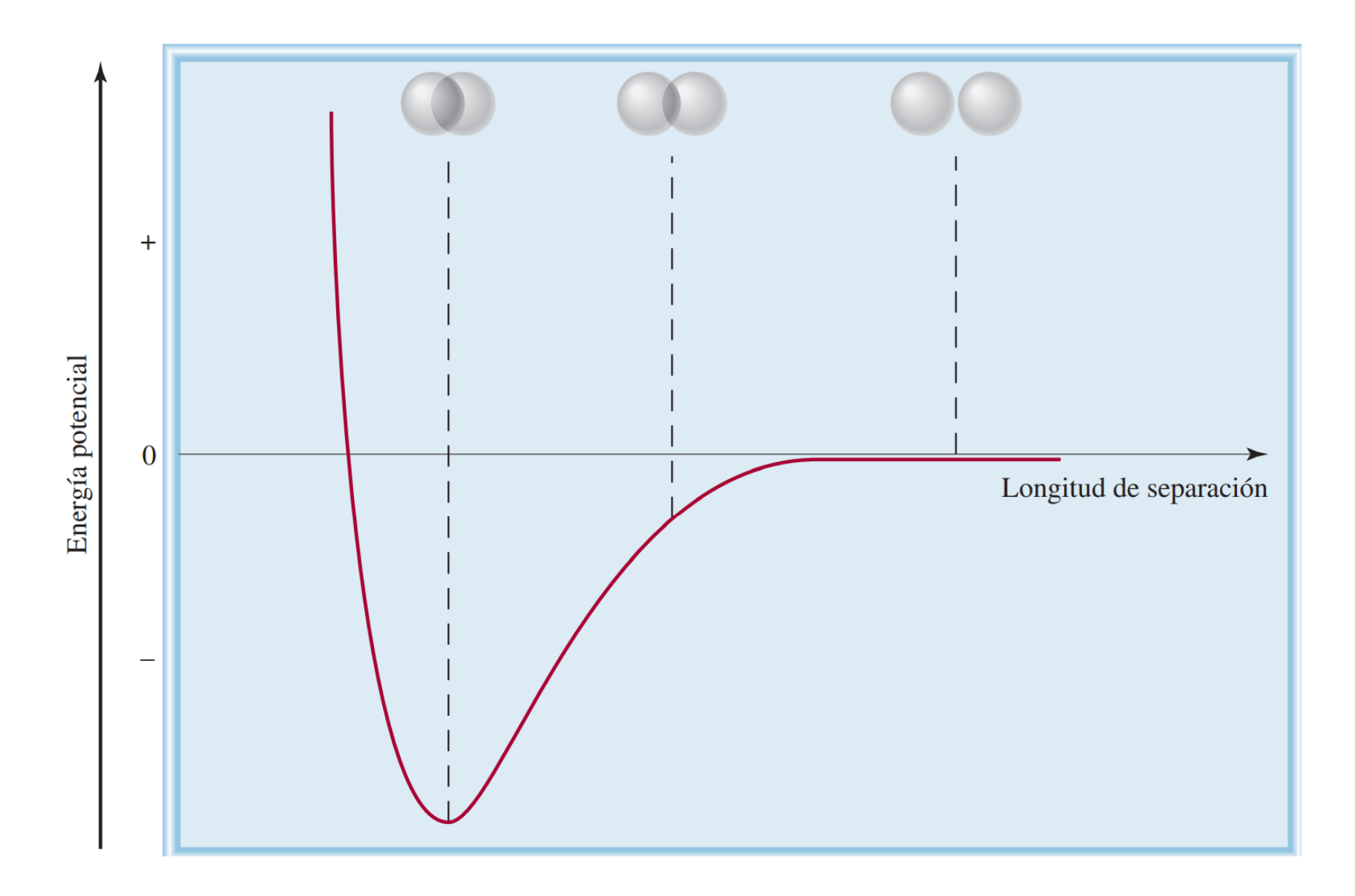
H-H



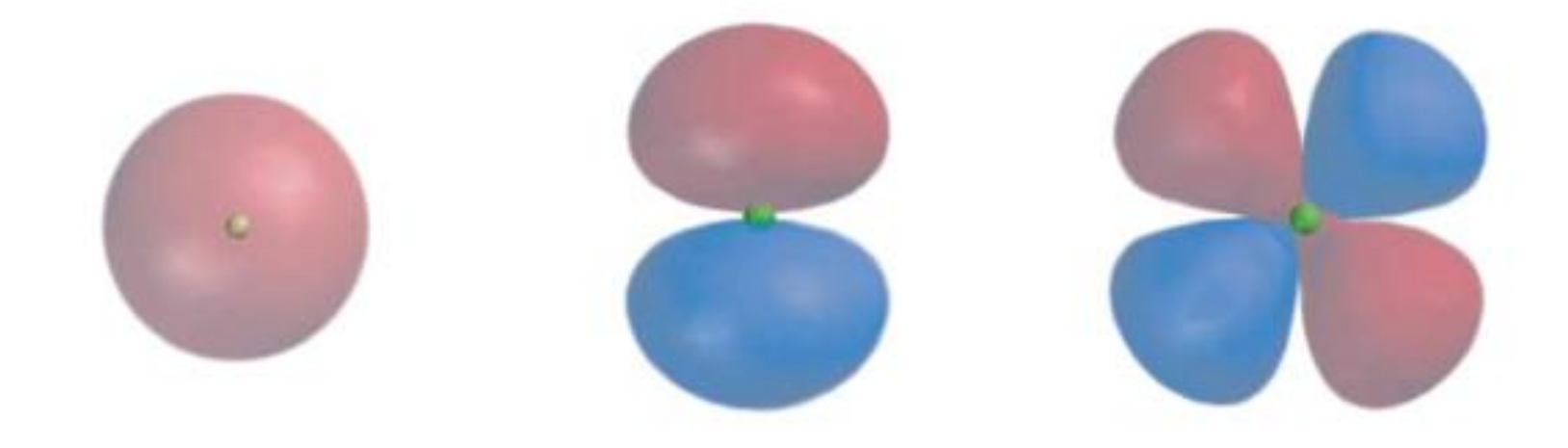
A mayor cercanía aumenta la repulsión entre los núcleos atómicos. La distancia de mayor estabilidad para el enlace H-H es de 74 pm (0,7 Å)

## H-H

**Figura 10.5** Cambio en la energía potencial de dos átomos de H con respecto de la longitud de separación. En el punto de energía potencial mínima, la molécula de H<sub>2</sub> se encuentra en su estado más estable y la longitud del enlace es de 74 pm. Las esferas representan los orbitales 1s.

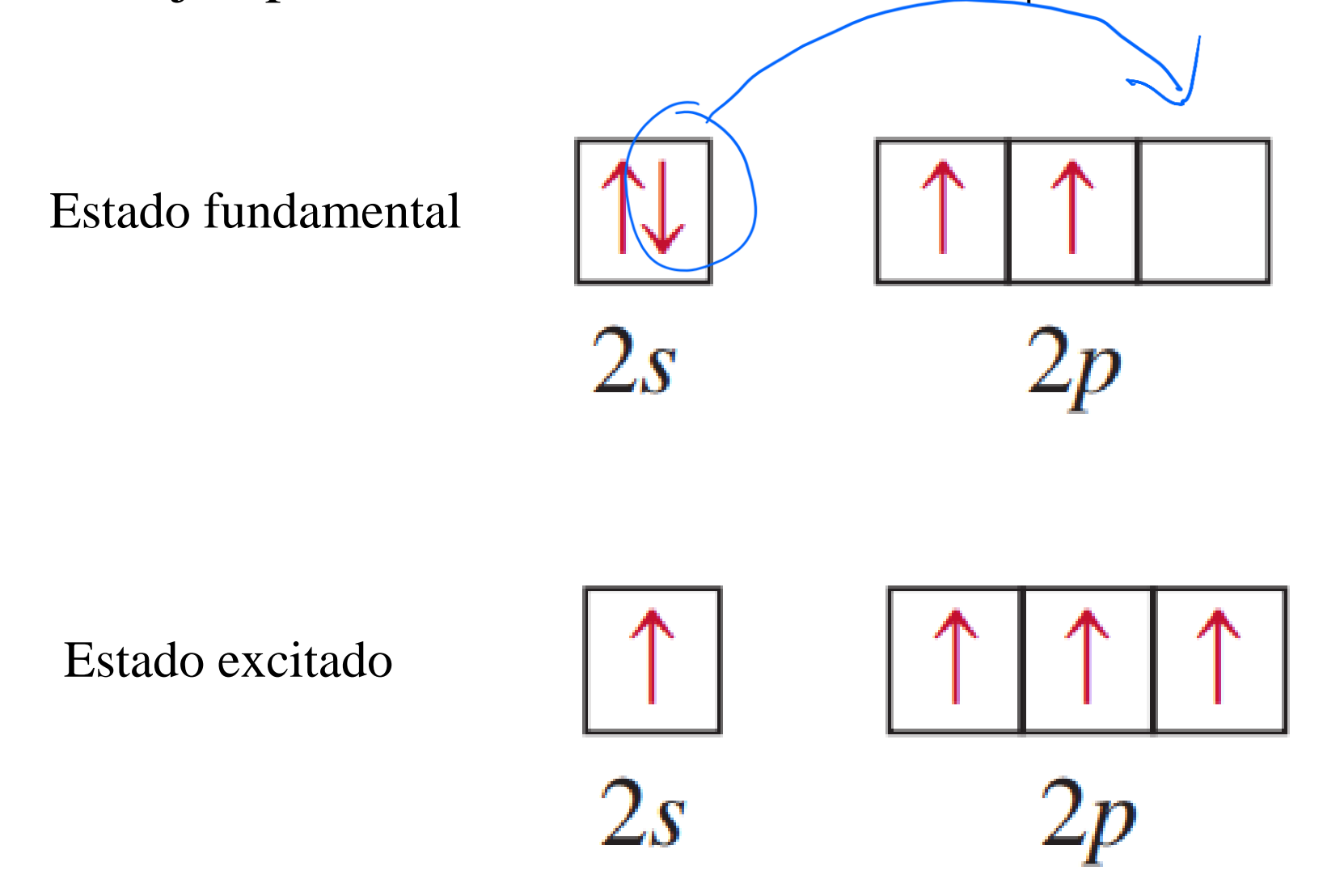


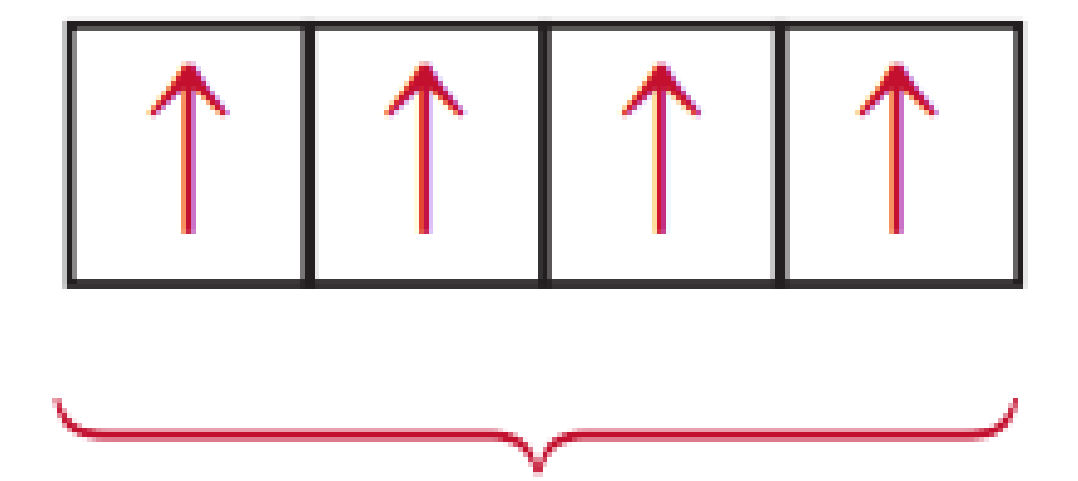
# Teoría de Orbitales Híbridos para explicar el enlace covalente



**Hibridación de orbitales**: se pueden combinar los orbitales atómicos para formar <u>orbitales moleculares</u>

Por ejemplo, la molécula de metano CH<sub>4</sub> tiene cuatro enlaces



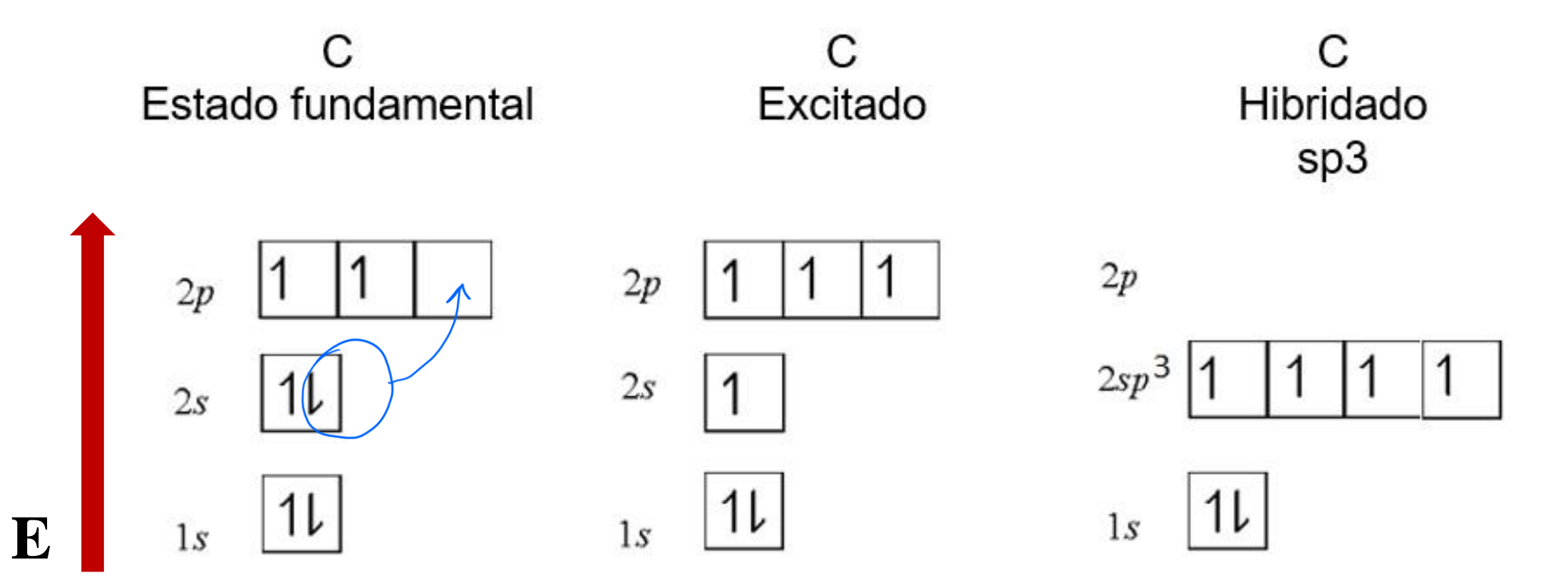


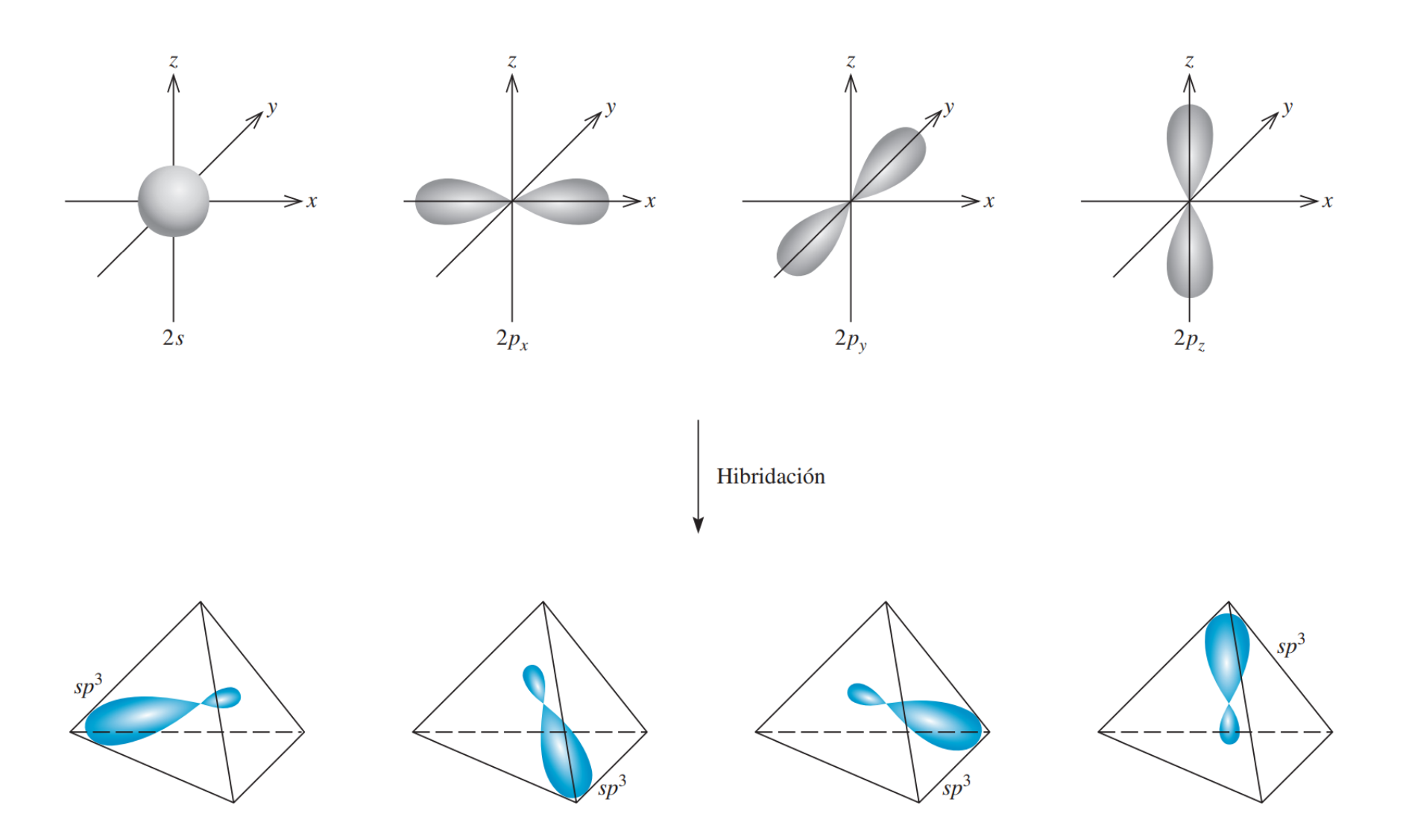
## orbitales sp<sup>3</sup>

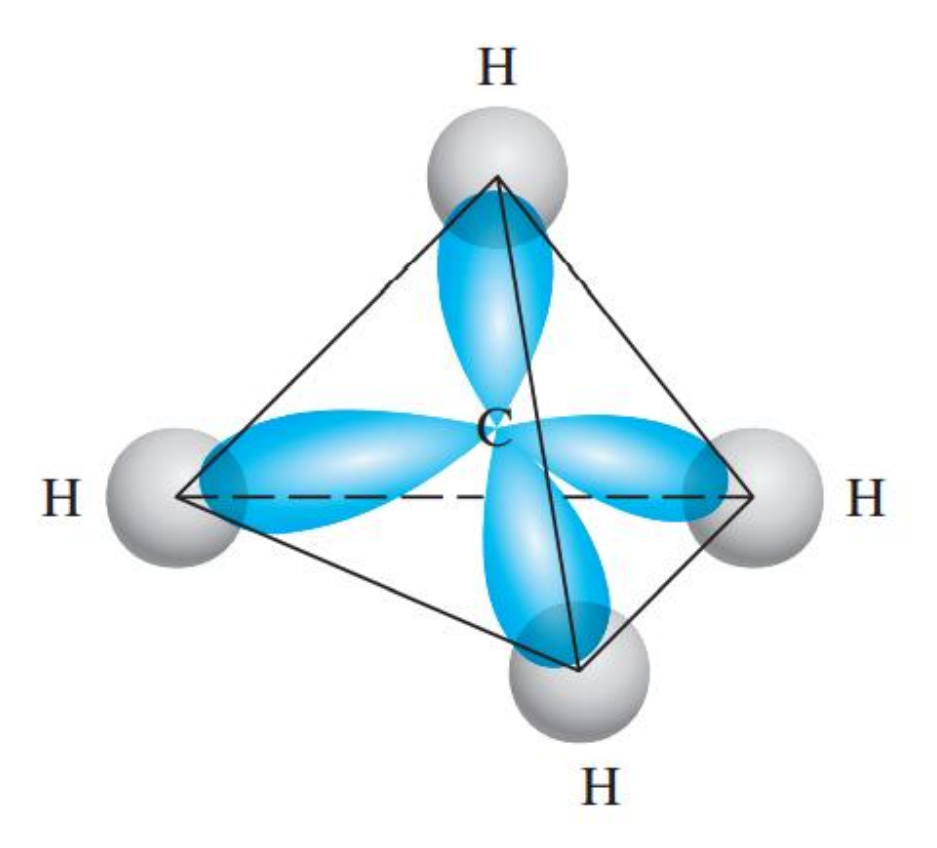
Se forman cuatro **orbitales híbridos sp**<sup>3</sup>

## HIBRIDACIÓN sp3

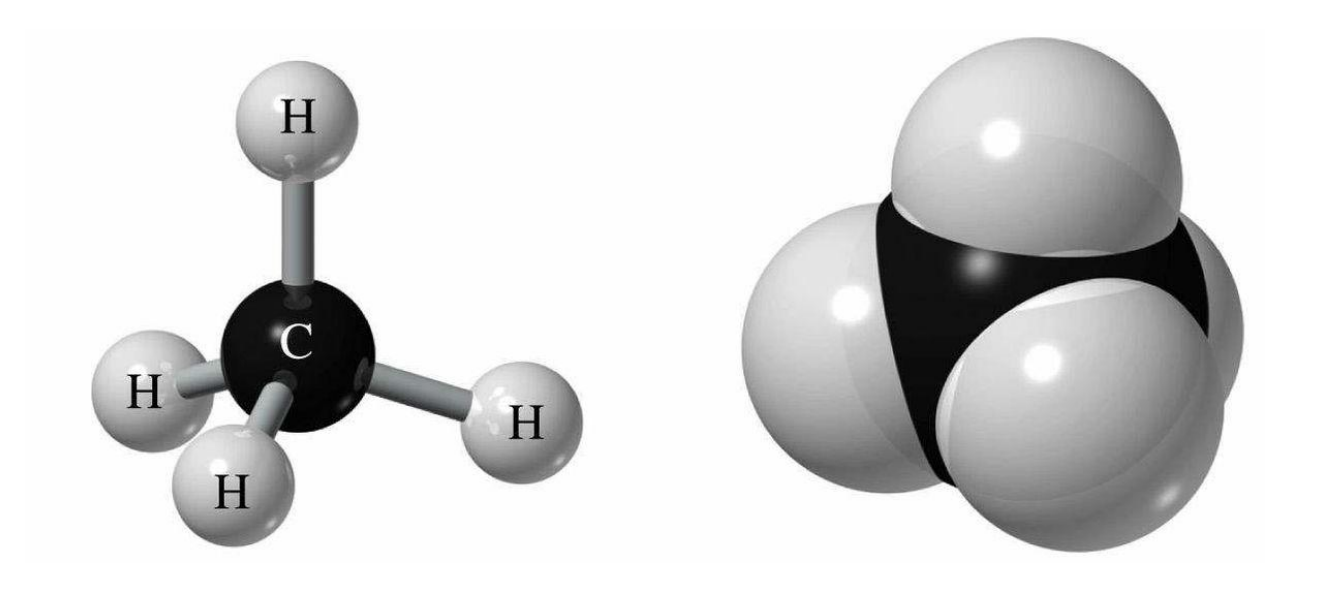
CH<sub>4</sub>



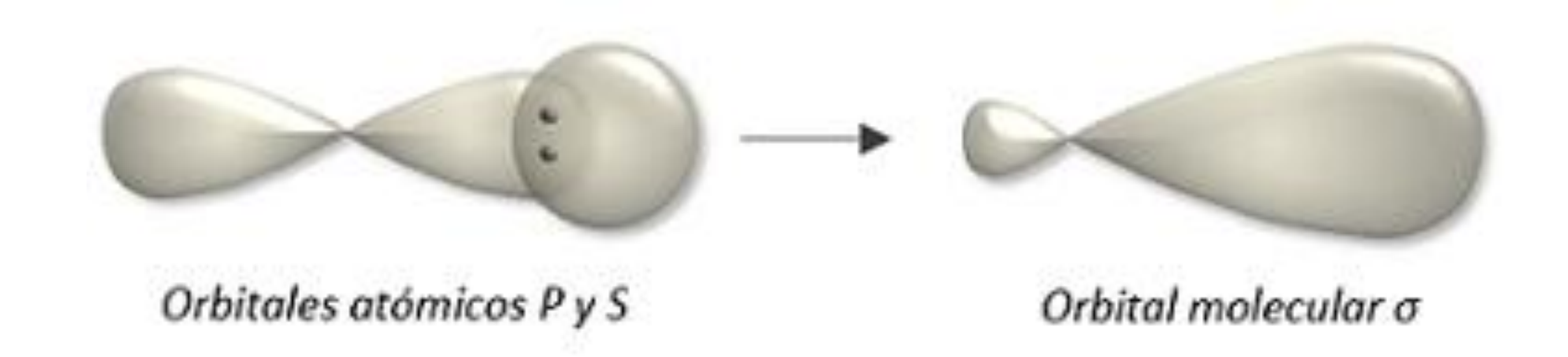




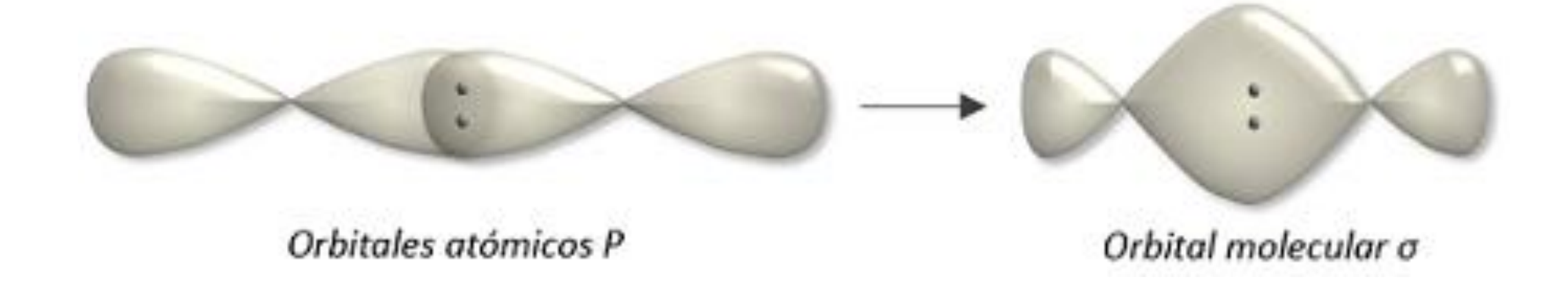
**Figura 10.8** Formación de cuatro enlaces entre los orbitales híbridos  $sp^3$  del carbono y los orbitales 1s de los hidrógenos, en el CH<sub>4</sub>. Los lóbulos más pequeños no se muestran.



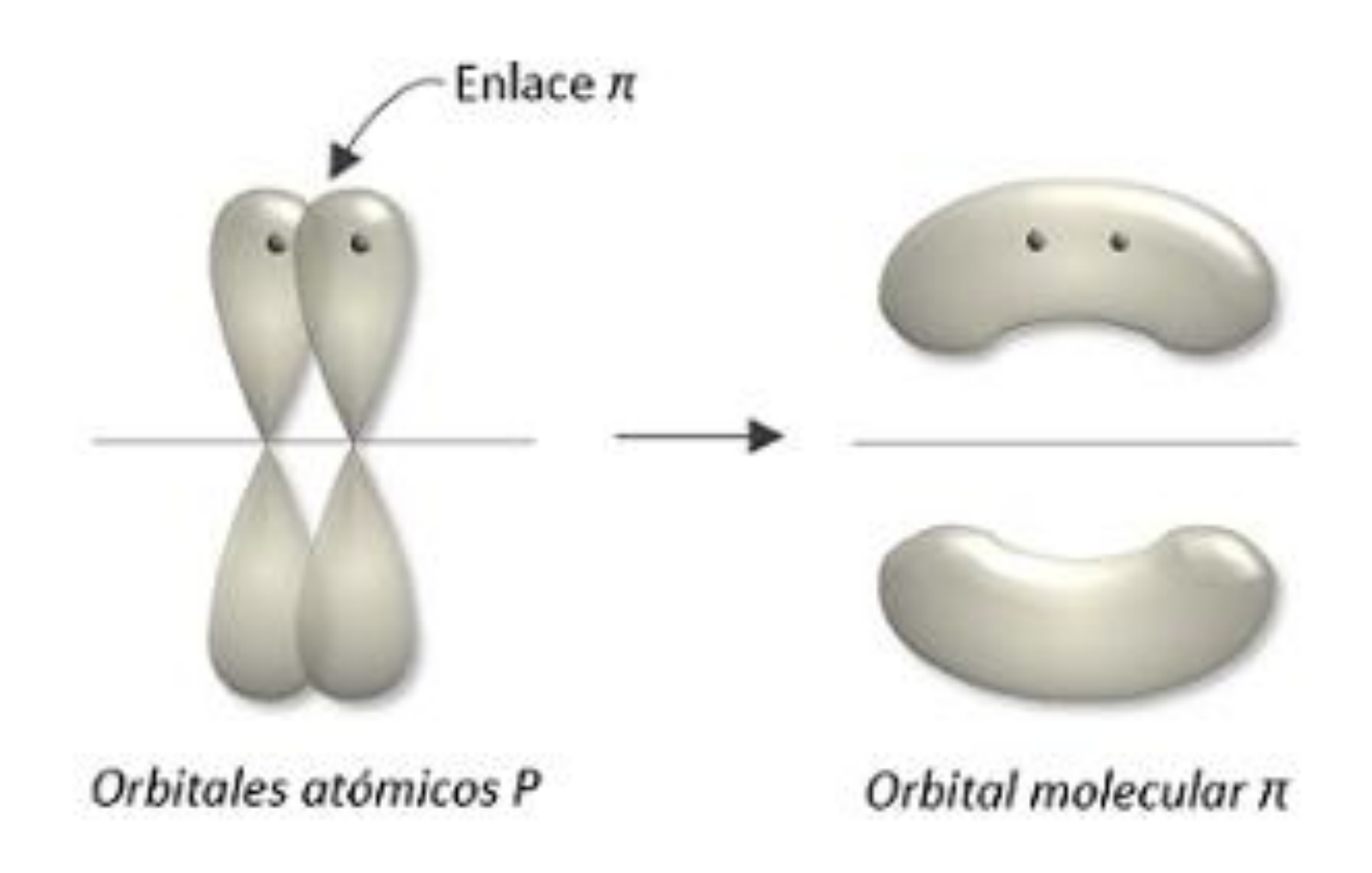
### Orbital molecular σ<sub>p-s</sub>. La unión de un orbital s y uno p



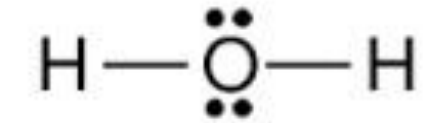
## Orbital molecular $\sigma_{p-p}$ : La unión de dos orbitales p



Orbital molecular  $\pi$ : Se forma por la unión de dos orbitales atómicos p paralelos



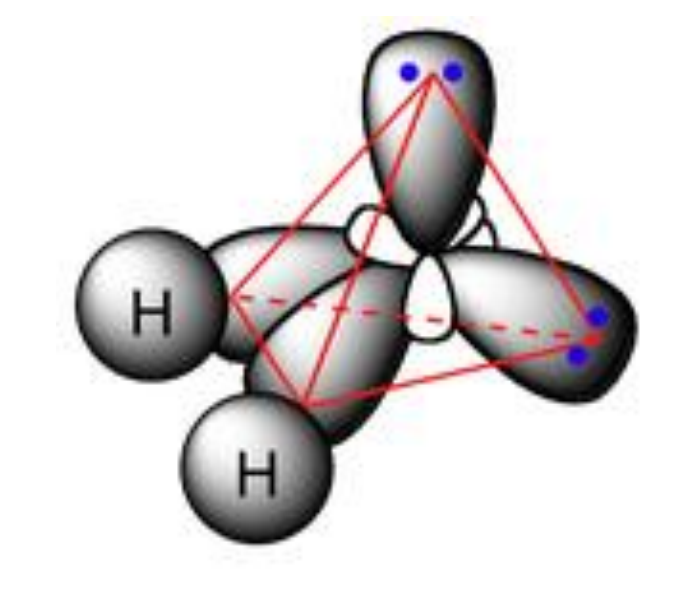
# $H_2O$

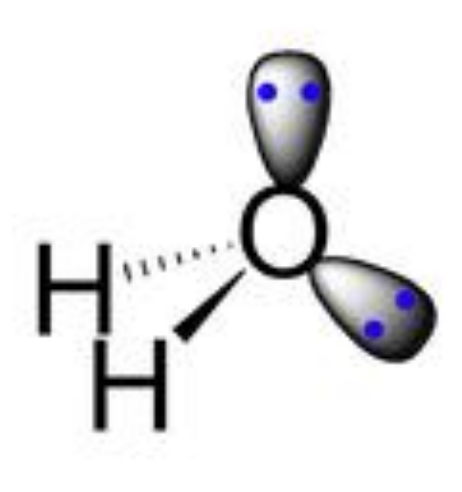


# HIBRIDACIÓN sp3

O Estado fundamental

O Hibridado





 $_{2p}$   $\left[1l\right]1\left[1\right]$ 

2s 11

 $_{ls}$  1l

2p

2sp<sup>3</sup> 11 11 1 1

ls 1l

**ETENO** 

 $CH_2 = CH_2$ 

2p 1 1 1

2p 1 1 1

25

1()

2s 1

1s 1L

1s 1L

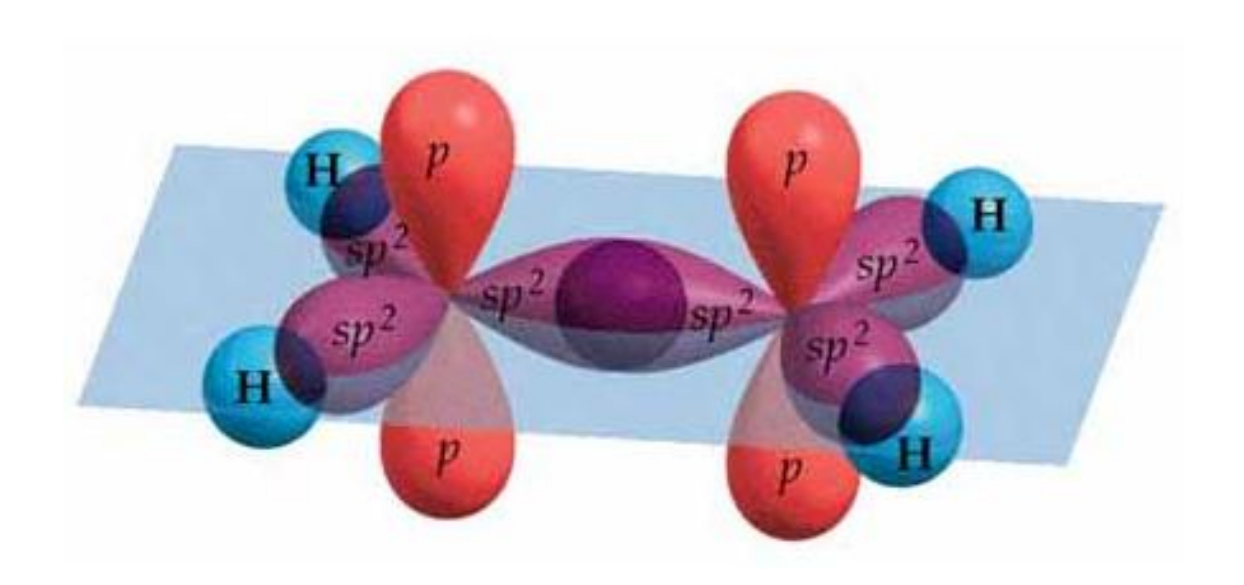
C (sp2)

2*p* 

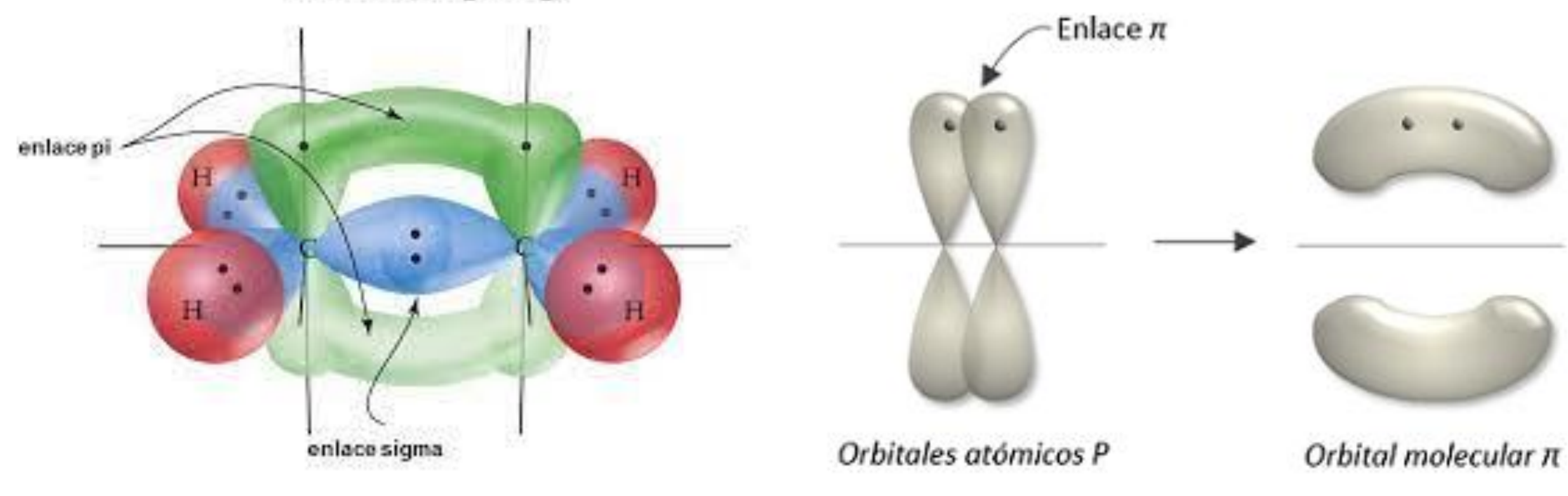
2sp 2 1 1 1

1s 1L

3 orbitales Subrider



#### ETENO (CH2=CH2)



**ACETILENO** 

## $H - C \equiv C - H$

2p 1 1

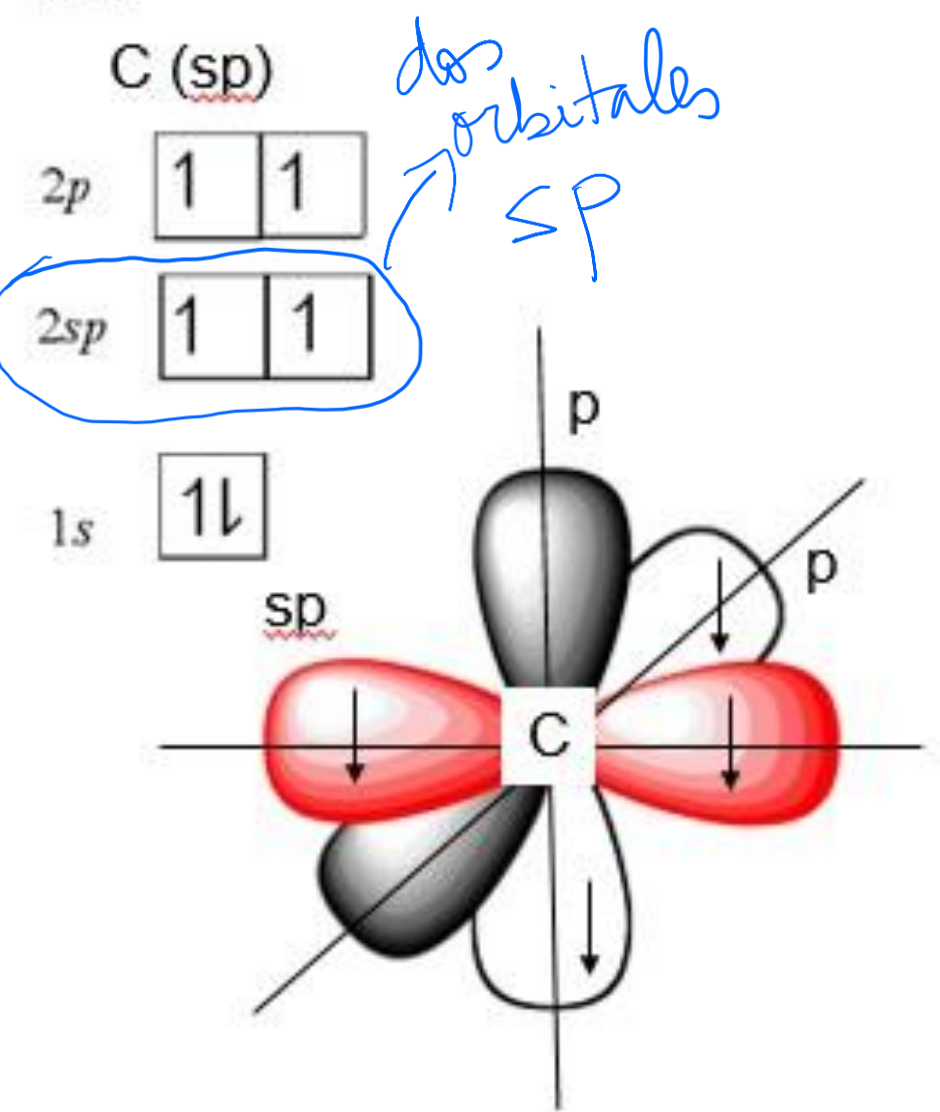
2p 1 1 1

2s 16

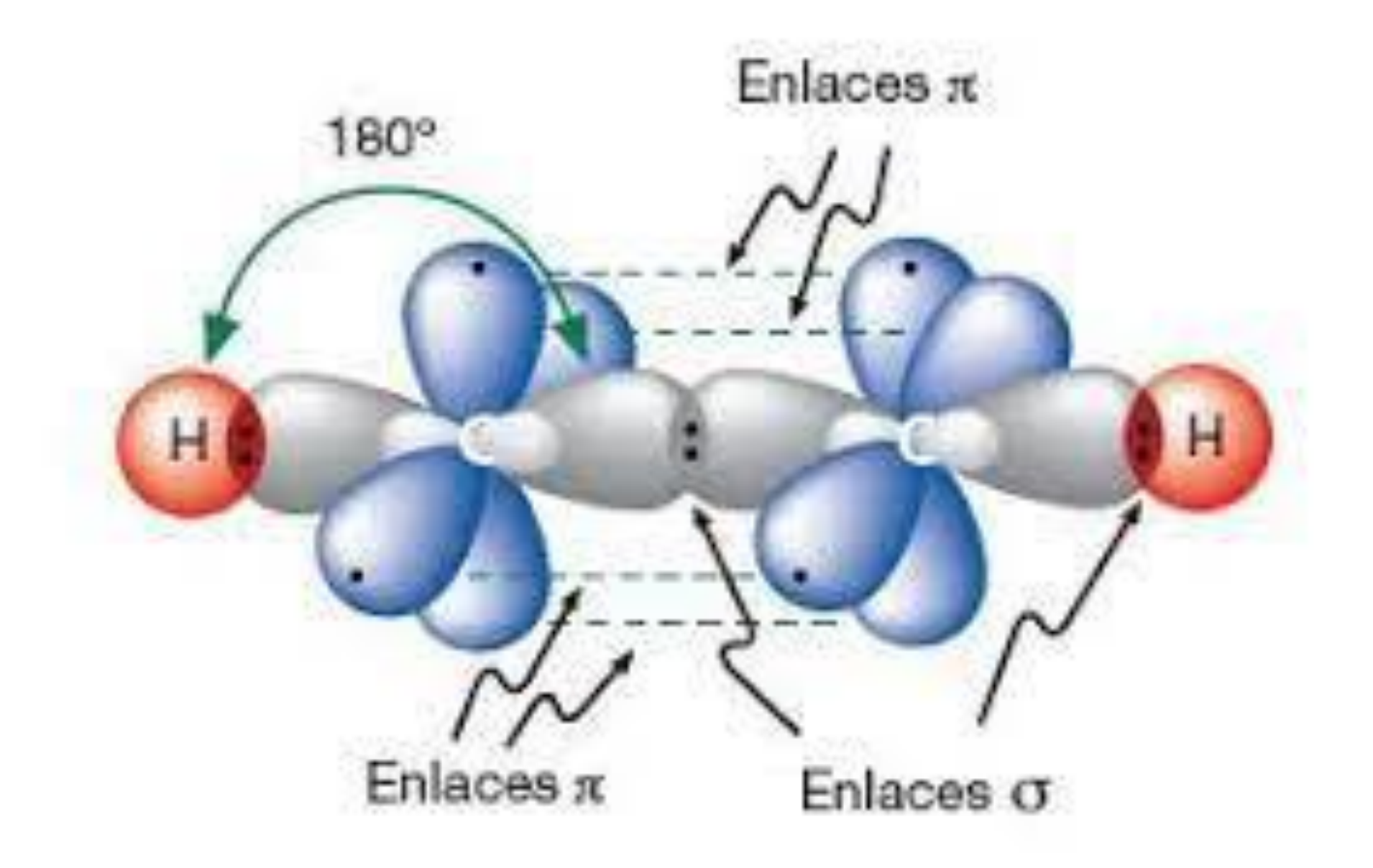
2s 1

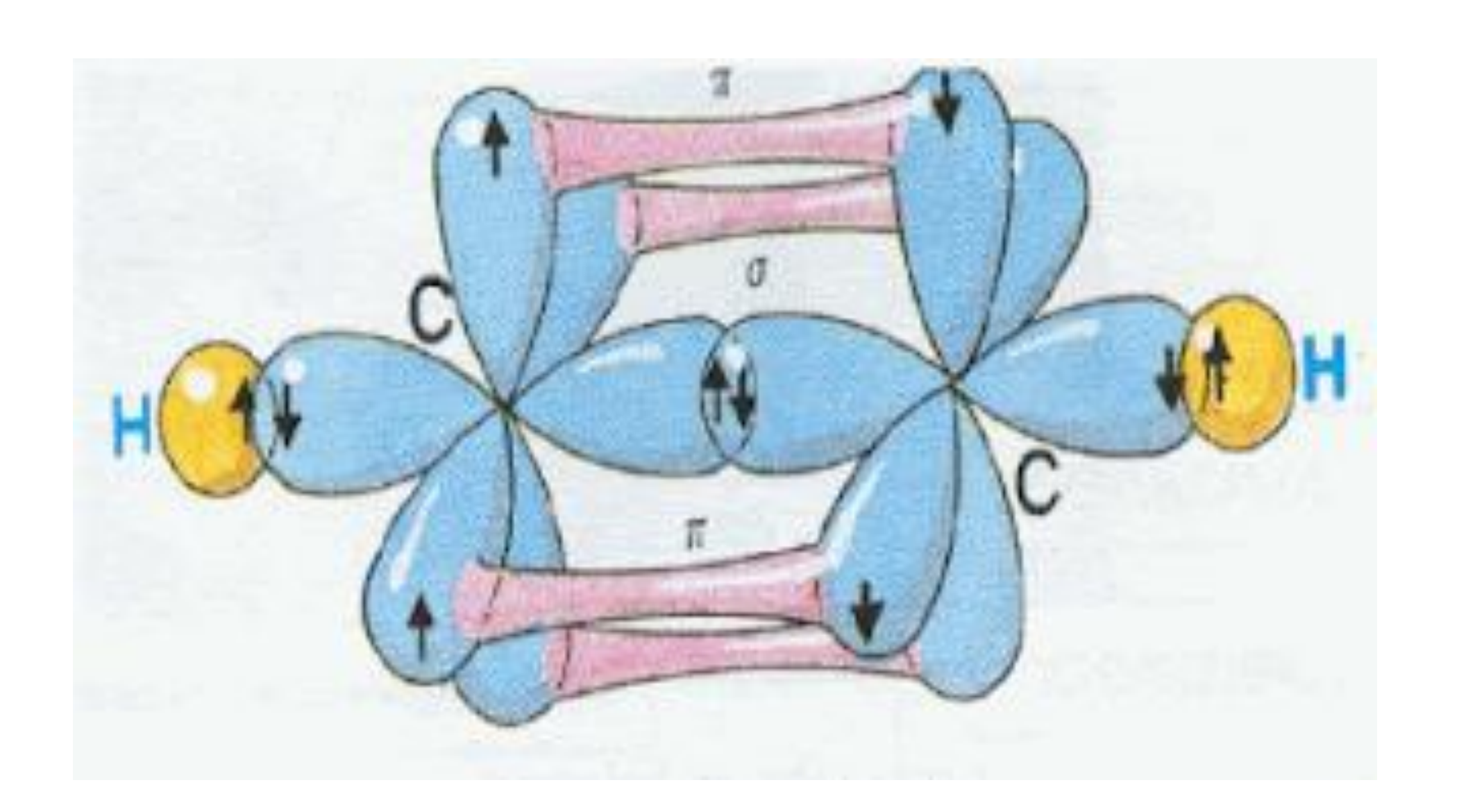
15 11

 $_{1s}$  1

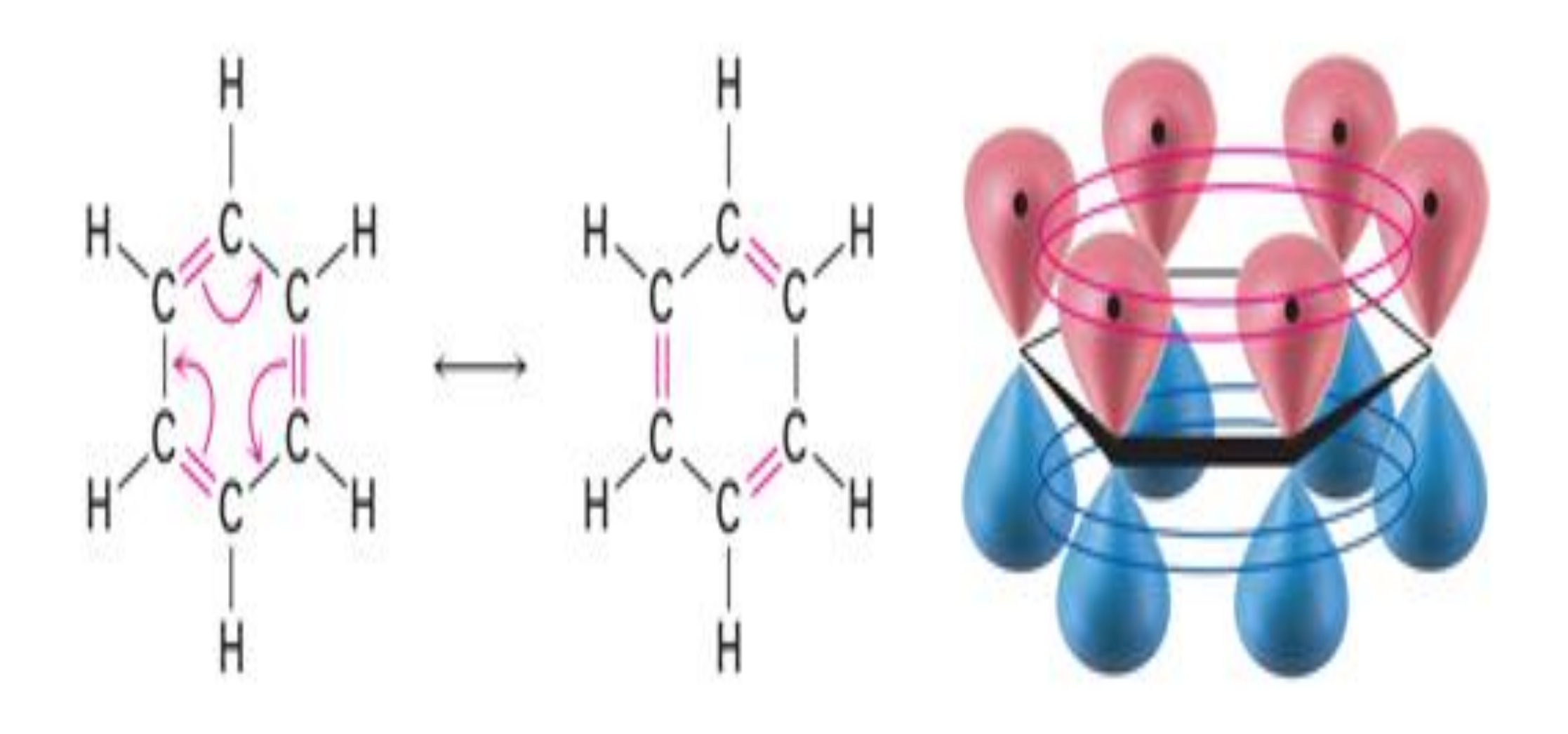


# $H - C \equiv C - H$

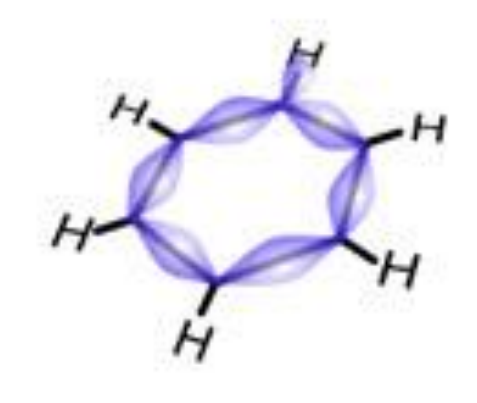


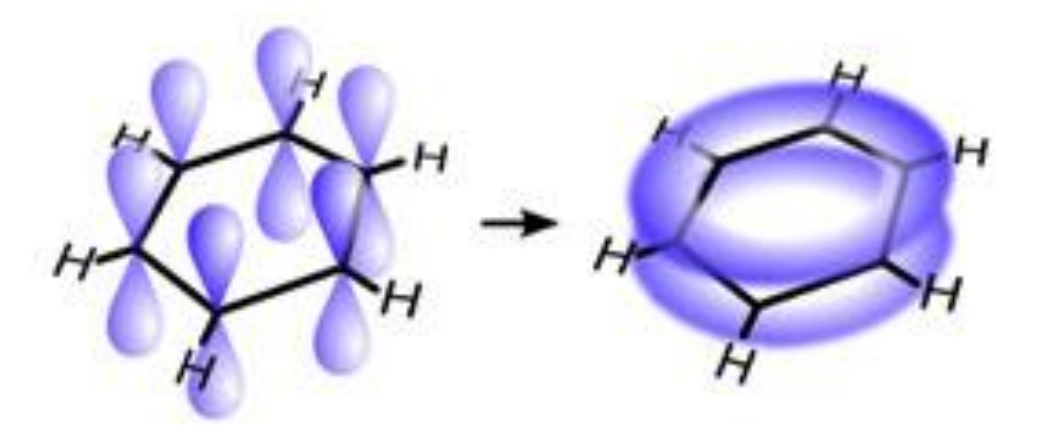


#### Resonancia. Los electrones se deslocalizan

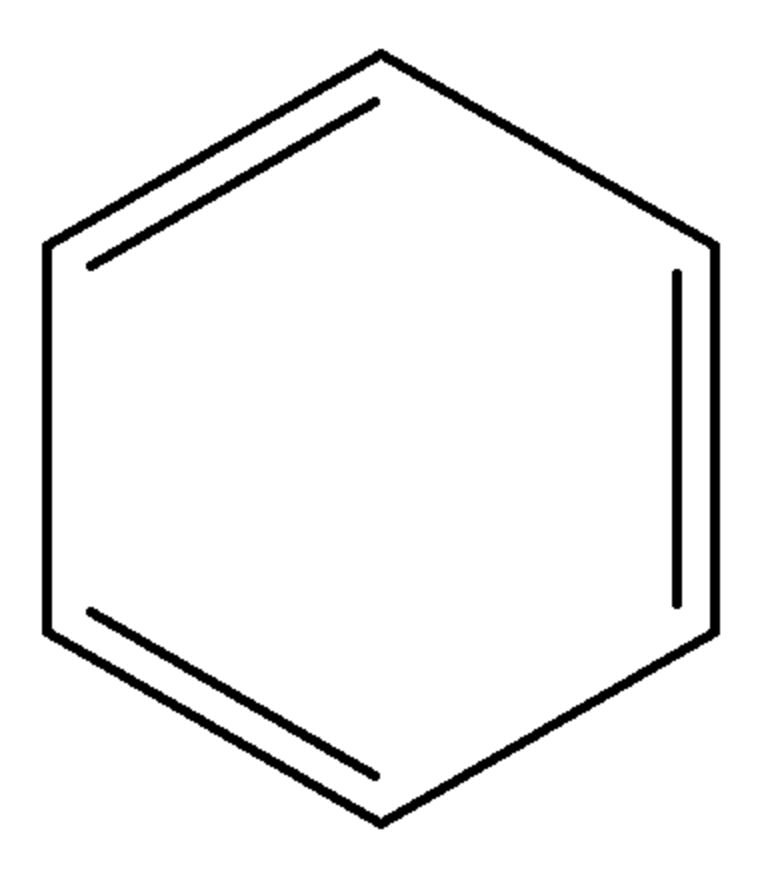


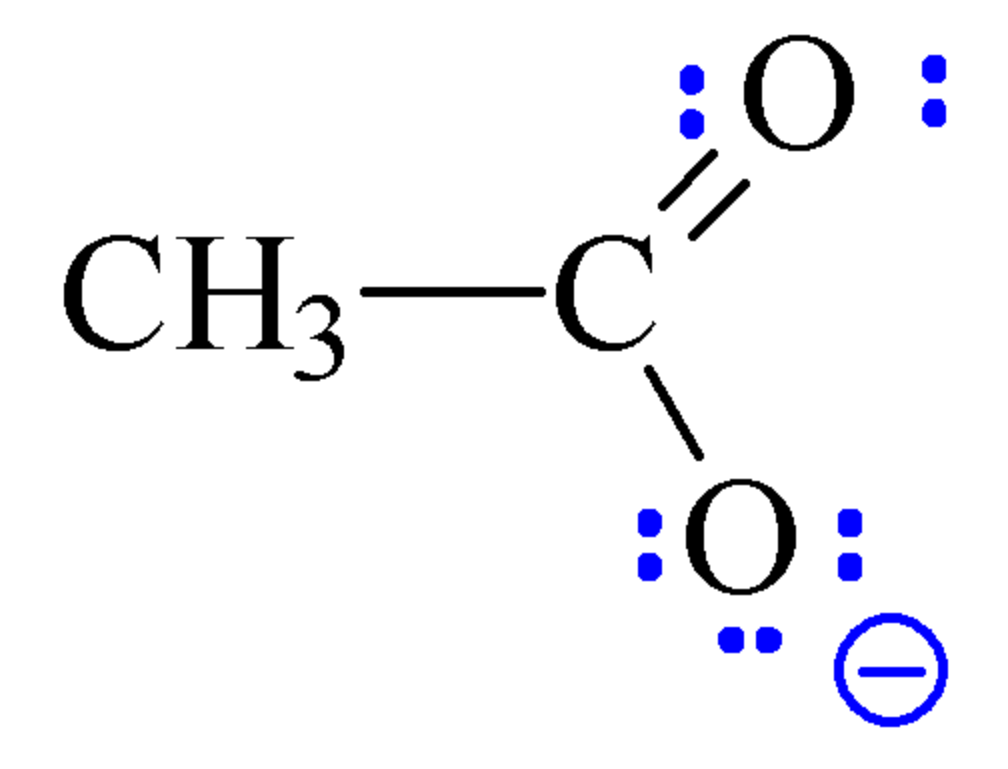
$$C_6H_6$$





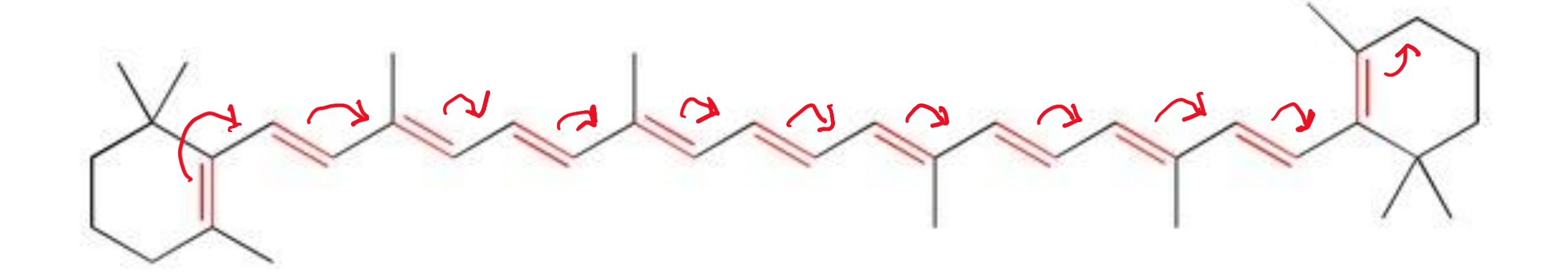






Ion acetato

# **β-caroteno**



#### **β-caroteno**

#### Espectro de absorción de los pigmentos

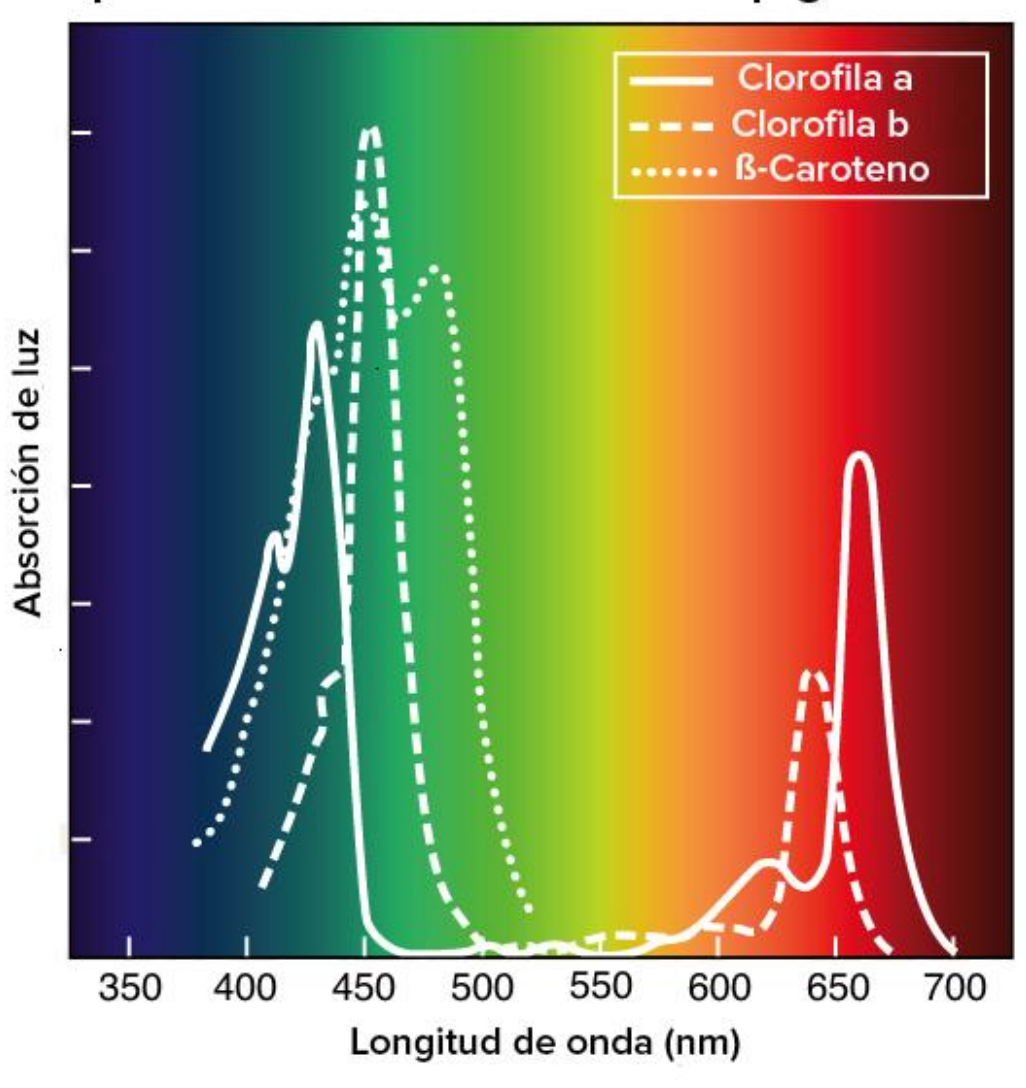


Tabla 11.1.- Relación entre la luz absorbida y el color observado

| λ de la luz<br>absorbida (nm) | Zona del espectro<br>visible | Color observado |
|-------------------------------|------------------------------|-----------------|
| 400-430                       | Violeta, añil                | Amarillo        |
| 430-470                       | Azul                         | Naranja         |
| 470-500                       | Azul, verde                  | Rojo            |
| 500-520                       | Verde                        | Púrpura         |
| 520-540                       | Verde, amarillo              | Violeta         |
| 540-590                       | Amarillo                     | Añil            |
| 590-610                       | Naranja                      | Azul            |
| 610-700                       | Rojo                         | Verde           |

Estado de oxidación: carga aparente que adquiere un átomo cuando forma parte de un compuesto químico

#### Determinación de estados de oxidación

#### Estados de oxidación:

```
O = -2 excepto en peróxidos -1 H - O - O - H H_2O_2 H = +1 excepto hidruros -1
```

```
Grupo 1 A = +1 (ns<sup>1</sup>)
Grupo 2 A = +2 (ns<sup>2</sup>)
```

# H<sub>2</sub>SO<sub>4</sub>

<sub>+2 +6 -8 = 0</sub> El ácido sulfúrico es una molécula neutra por tanto la cantidad de cargas (+) y (-) debe ser igual. Con los datos dados, se puede determinar el estado de oxidación de un elemento que tiene varios estados de oxidación

## Ácido fosfórico

$$H_3PO_4$$
 $(+)3 + \times + 8(-) = 0$ 
 $\times = +5$ 

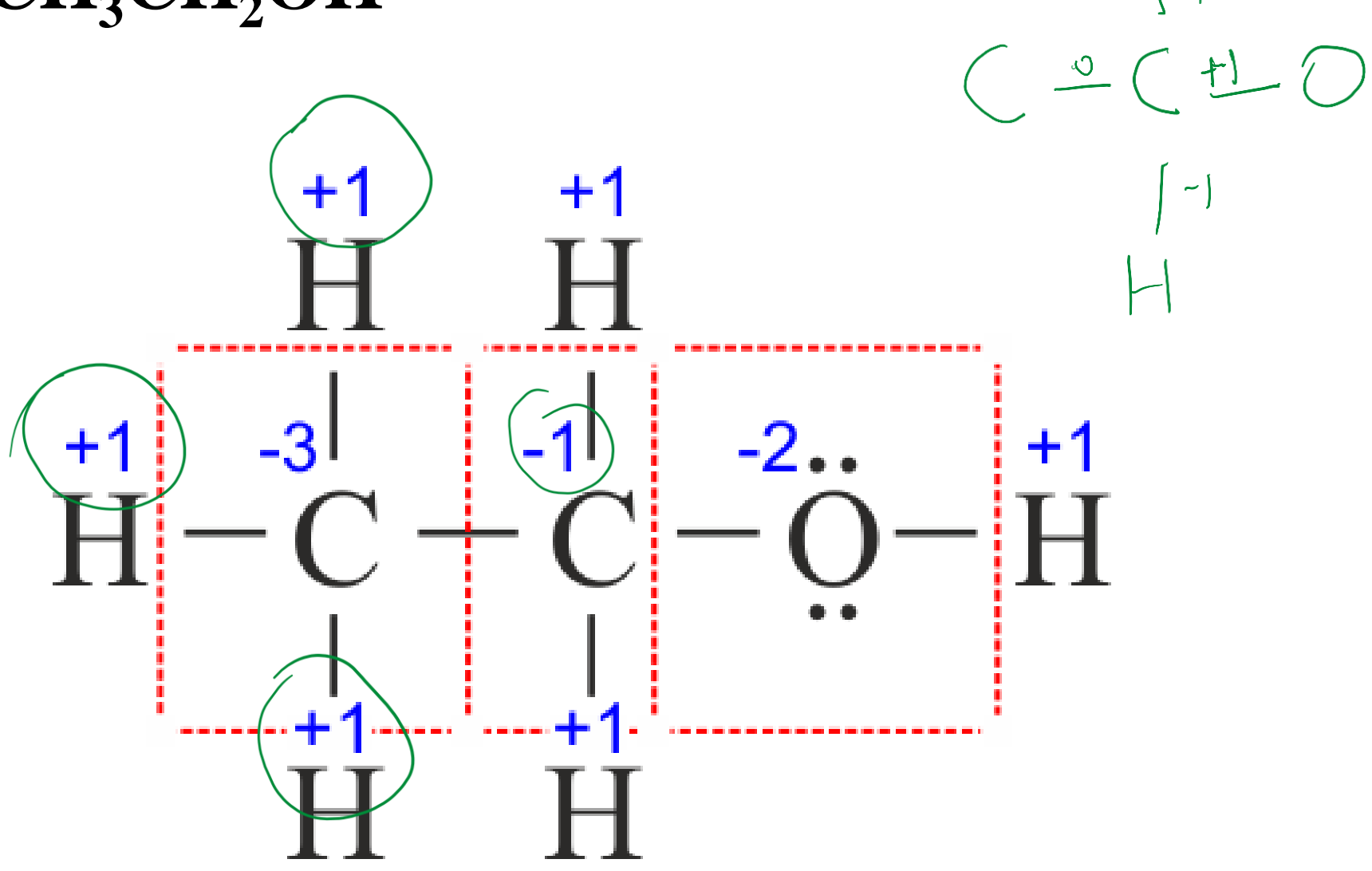
## Ácido nítrico

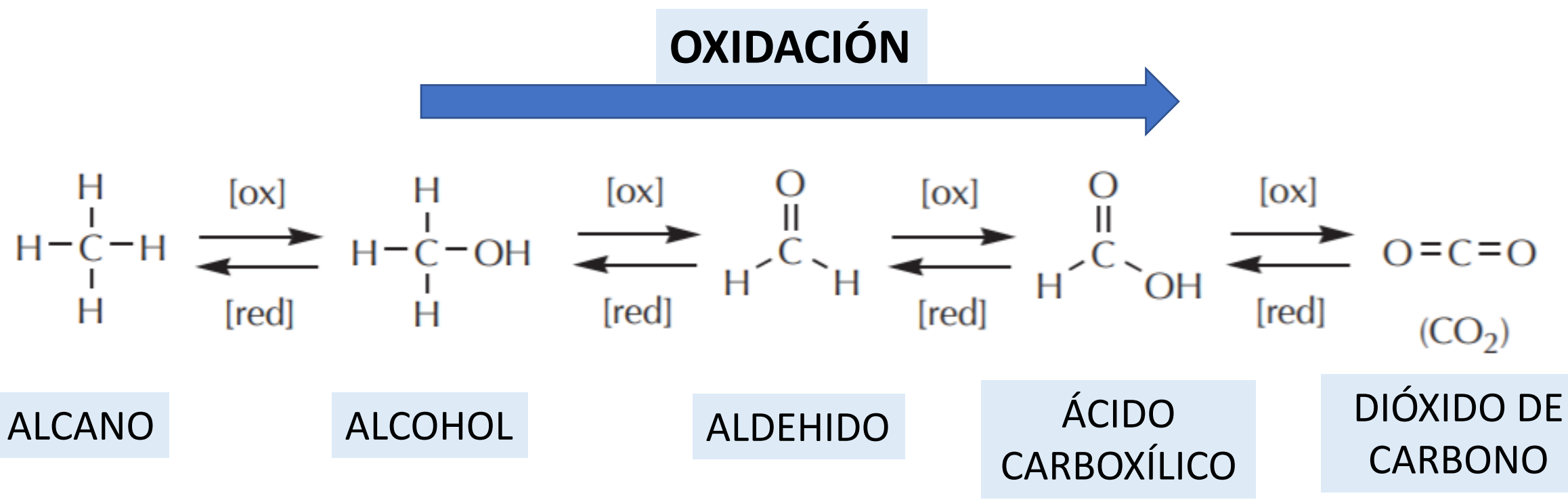
HNO<sub>3</sub>

$$(+)_{1} + x + (-6)_{=} 0$$

$$x = +5$$

Etanol CH<sub>3</sub>CH<sub>2</sub>OH





Estado más reducido (-4)

**REDUCCIÓN** 

Estado más oxidado (+4)

